

# Forord

---

Denne rapport indeholder dokumentation for projektet *Design af akustiske volumenmålinger af bryster*. Rapporten indeholder kravspecifikation, accepttest, dokumentation af projektets design og implementeringsfase.

Kravspecifikationen er udarbejdet i samarbejde med Pavia Lumholt, speciallæge i plastikkirurgi på OPA Privathospital, Aarhus.

## Læsevejledning

Til hvert kapitel i denne rapport findes en tilhørende indledning med formål samt læsevejledning.

I bilagslisten €€€.....

# Indholdsfortegnelse

---

|                  |  |          |
|------------------|--|----------|
| <b>Kapitel 1</b> | <b>Kravspecifikation</b>                           | <b>1</b> |
| 1.1              | Indledning . . . . .                               | 1        |
| 1.1.1            | Formål . . . . .                                   | 1        |
| 1.1.2            | Læsevejledning . . . . .                           | 1        |
| 1.1.3            | Versionshistorik . . . . .                         | 1        |
| 1.2              | Systembeskrivelse . . . . .                        | 1        |
| 1.2.1            | Aktørbeskrivelse . . . . .                         | 2        |
| 1.3              | Funktionelle krav . . . . .                        | 2        |
| 1.3.1            | Use Case diagram . . . . .                         | 3        |
| 1.3.2            | Use Case #1 - Ufør brystvolumenmåling . . . . .    | 4        |
| 1.4              | Ikke-funktionelle krav . . . . .                   | 5        |
| 1.4.1            | Kalibrering . . . . .                              | 5        |
| 1.5              | Projektafgrænsning . . . . .                       | 6        |
| 1.6              | Samarbejdspartnere . . . . .                       | 8        |
| <br>             |  |          |
| <b>Kapitel 2</b> | <b>Dokumentation af accepttest</b>                 | <b>9</b> |
| 2.1              | Indledning . . . . .                               | 9        |
| 2.1.1            | Formål . . . . .                                   | 9        |
| 2.1.2            | Læsevejledning . . . . .                           | 9        |
| 2.1.3            | Versionshistorik . . . . .                         | 9        |
| 2.2              | Accepttest-protokol . . . . .                      | 9        |
| 2.2.1            | Formål . . . . .                                   | 9        |
| 2.2.2            | Referencer . . . . .                               | 9        |
| 2.2.3            | Forkortelser . . . . .                             | 9        |
| 2.2.4            | Ansvar . . . . .                                   | 10       |
| 2.2.5            | Udstyrsbeskrivelse . . . . .                       | 10       |
| 2.2.6            | Acceptkriterier . . . . .                          | 10       |
| 2.2.7            | Metode . . . . .                                   | 11       |
| 2.2.8            | Oversigt over testdokumenter . . . . .             | 12       |
| 2.2.9            | Forudsætning for udførelse af accepttest . . . . . | 12       |

|                                 |   |           |
|---------------------------------|---|-----------|
| 2.3                             | Accepttest . . . . .  | 12        |
| <b>Kapitel 3 Implementering</b> |   | <b>13</b> |
| 3.1                             | Indledning . . . . .  | 13        |
| 3.1.1                           | Formål . . . . .  | 13        |
| 3.1.2                           | Læsevejledning . . . . .  | 13        |
| 3.1.3                           | Versionshistorik . . . . .  | 13        |
| 3.2                             | Enhedstest . . . . .  | 16        |
| 3.2.1                           | E01-H1 . . . . .  | 16        |
| 3.2.2                           | E02-M1 . . . . .  | 18        |
| 3.2.3                           | E03-H2 . . . . .  | 19        |
| 3.2.4                           | E04-M1 . . . . .  | 21        |
| 3.2.5                           | E05-M2 . . . . .  | 22        |
| 3.2.6                           | E06-M3 . . . . .  | 24        |
| 3.2.7                           | E07-M4 . . . . .  | 26        |
| 3.2.8                           | E08-M4 . . . . .  | 28        |
| 3.2.9                           | E09-M4 . . . . .  | 30        |
| 3.2.10                          | E10-H3 . . . . .  | 32        |
| 3.2.11                          | E11-VI02G . . . . .   | 35        |
| 3.2.12                          | E12-VI01Q . . . . .   | 37        |
| 3.2.13                          | E13-VI02Q . . . . .   | 40        |
| 3.2.14                          | E14-VI05Q . . . . .   | 40        |
| 3.2.15                          | E15-VI06Q . . . . .   | 40        |
| 3.2.16                          | E16-VI08Q . . . . .   | 40        |
| 3.2.17                          | SW LabVIEW FFT af signal . . . . .                                    | 40        |
| 3.2.18                          | SW LabVIEW volumenformel . . . . .                                    | 43        |
| 3.3                             | Integrationstest . . . . .  | 46        |
| 3.3.1                           | Bordtest nr. 1 . . . . .  | 46        |
| 3.3.2                           | Bordtest nr. 2 . . . . .  | 47        |
| 3.3.3                           | Bordtest nr. 3 . . . . .  | 49        |
| 3.3.4                           | Bordtest nr. 4 . . . . .  | 51        |
| 3.3.5                           | Bordtest nr. 5 . . . . .  | 56        |
| 3.3.6                           | Bordtest nr. 6 - resonansfrekvens i tomt kammer . . . . .             | 59        |
| 3.3.7                           | Bordtest nr. 6.1 - resonansfrekvens i tomt kammer . . . . .           | 60        |
| 3.3.8                           | Bordtest 6.2 - test med tre balloner med forskellig volumen . . . . . | 64        |

|  |           |
|--|-----------|
| <b>Kapitel 4 Find en plads til det her</b>                         | <b>65</b> |
| 4.1 Bestemmelse af volumen af resonator . . . . .                  | 65        |
| 4.1.1 Bestemmelse af volumen af resonator ekskl. halsvolumen . . . | 65        |
| 4.2 Udregning af volumen . . . . .                                 | 65        |
| <b>Litteratur</b>  | <b>68</b> |
| <br>Bilag A . . . . .  | <br>69    |
| <br>Bilag B . . . . .  | <br>70    |

# Kravspecifikation

# 1

## 1.1 Indledning

Dette kapitel indeholder kravspecifikationen for den akustiske volumenmåler til bryster. Kravspecifikation er udarbejdet i samarbejde med projektets kunde, Pavia Lumholt, speciallæge i plastikkirurgi.

### 1.1.1 Formål

Kravspecifikation definerer de funktionelle og ikke-funktionelle krav, og fungerer som en bindende kontrakt mellem producent og kunde.

### 1.1.2 Læsevejledning

Dokumentet indeholder en systembeskrivelse for den akustiske brystvolumenmåler (omtales herefter BVM). Systembeskrivelsen er en kort beskrivelse af BVM samt en illustration af måleren. De definerede krav er opdelt i funktionelle og ikke-funktionelle krav, og er beskrevet i de navnebeslægtede afsnit. Dokumentet indeholder ydermere en projektafgrænsning i form af MoSCoW-modellen samt et afsnit omhandlende projektets samarbejdspartnere.

### 1.1.3 Versionshistorik

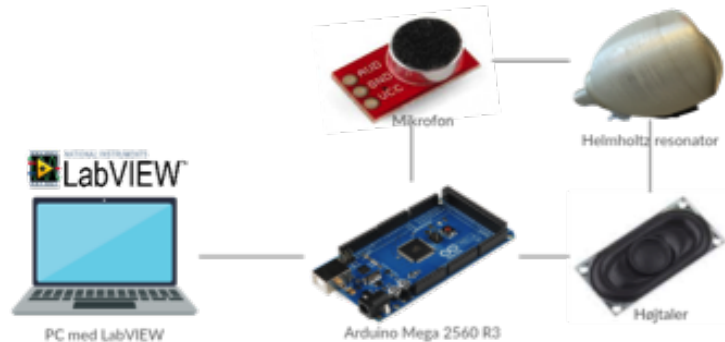
| #   | Dato     | Initialer | Beskrivelse      |
|-----|----------|-----------|------------------|
| 0.1 | 03.10.16 | JH & JR   | Sendt til review |

## 1.2 Systembeskrivelse

### Brystvolumenmålerens opbygning

Den akustiske brystvolumenmåler består af en Helmholtz resonator, hvor der er påmonteret en højttaler og en mikrofon. Højttaleren og mikrofonen er koblet til en

Arduino Mega 2560 R3. Arduino'en er koblet til en PC, hvor der skrives til Arduino i LabVIEW.



Figur 1.1: Beskrivelse af systemets komponenter €€€€

### Brystvolumenmåleren funktionalitet

Når en måling intialiseres med BVM'en afsendes en lyd i resonatoren via højttaleren. Mikrofonen på resonatoren opsamler den reflekterede lyd, og ud fra den reflekterede lyd, udregner en algoritme størrelsen på brystvolumen.

#### 1.2.1 Aktørbeskrivelse

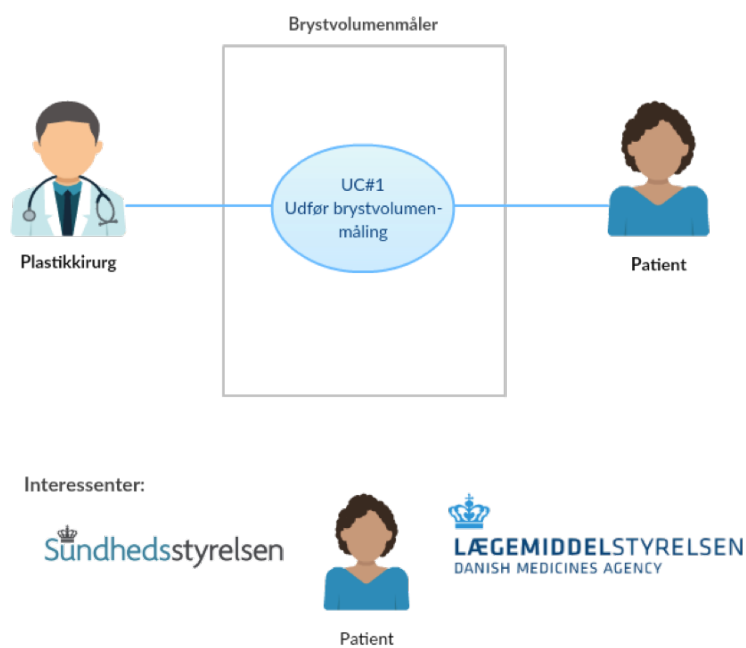
Systemets primære aktør er en plastikkirurg, som bruger BMV'en når han ønsker et objektivt mål på et bryst. Det er udelukkende plastikkirurgen, der betjener BMV'en under en måling. Som sekundær aktør giver patient et input, sit bryst, til systemet.

### 1.3 Funktionelle krav

Dette afsnit beskriver de funktionelle krav, som er udarbejdet i samarbejde med Pavia Lumholt. Disse krav er præsenteret i et Use Case diagram samt i en Fully Dressed Use Case beskrivelse.

### 1.3.1 Use Case diagram

I Use Case diagrammet, 1.2, vises en Use Case for brugen af den akustiske brystvolumenmåler. På venstre side af Use Casen ses systemets primære aktør, og på højre side ses systemets sekundære aktør. Endvidere, vises systemets interessenter, nederst i diagrammet.



Figur 1.2: Use Case #1 diagram, hvor blablabla €€€

## 1.3.2 Use Case #1 - Ufør brystvolumenmåling

| Use Case #1: Udfør brystvolumenmåling   |                                       |
|---|---------------------------------------|
| Use Case ID   | UC #1                                 |
| Primær aktør  | Plastikkirurg (PK)                    |
| Sekundær aktør  | Patient                               |
| <b>Interessenter</b><br>1. Patient: <i>ønsker et objektivt mål, som bevis på overensstemmelse med købsaftale</i><br>2. Sundhedsstyrelsen: <i>ønsker et objektivt mål til vurdering af berettigelse til brystformindskende operation</i><br>3. Lægemiddelstyrelsen: <i>ønsker, at BVM er i overensstemmelse med EU-lovgivning for medicinsk udstyr</i>   |                                       |
| Startbetingelse   | Slutbetingelse                        |
| BVM skal være tændt   | BVM skal vise et mål for brystvolumen |
| <b>Normalforløb</b><br>1. PK har behov for at kende patientens brystvolumen<br>2. PK kalibrerer BVM i den tilhørende dockingstation<br>3. PK placerer BVM på patients blottede bryst<br>4. PK kontrollerer, at patientens bryst er tætomslettet af BVM<br>5. PK kontrollerer, at BVM er placeret med et ensartet tryk på patientens bryst<br>6. PK foretager en måling af brystvolumen ved at trykke på den dertilhørende knap<br>7. BVM præsenterer målingen på et display, som PK aflæser<br>8. BVM slukkes og rengøres |                                       |
| <b>Alternativt flow</b><br>1. Manglende kalibrering<br>(a) PK anbringer BVM i dockingstation<br>(b) PK starter kalibrering ved at trykke på den dertilhørende knap<br>(c) BVM melder klar til brug<br>2. Fejlhåndtering<br>(a) PK slukker BVM<br>(b) PK anbringer BVM i dockingstationen<br>(c) PK tænder BVM<br>(d) PK kalibrerer BVM  |                                       |
| <b>Åbne problemstillinger</b><br><ul style="list-style-type: none"> <li>Hvordan ved PK, at BVM mangler at blive kalibreret?</li> <li>Hvordan ved PK, at BVM melder fejl?</li> <li>Hvordan ved PK, at han påfører et ensartet tryk?</li> <li>Hvordan ved PK, at patientens bryst er tætomslettet af BVM?</li> </ul>  |                                       |



## 1.4 Ikke-funktionelle krav

### Tid

Efter kalibrering må målingen maksimalt tage 10 sek. Dette er et kundekrav fra Pavia Lumholt. BMV'en skal melde om kalibreringsbehov hver 10. minut

### Enheder

Målingen skal angives til PK i milliliter(ml.)Plastikkirurger bruger milliliter enheder når de angiver bryststørrelse.

### UI

UI skal være en touch-screen, da denne form for skærm er rengøringsvenlig. Tekst skal være synligt på en halv meters afstand, da det skal være muligt at aflæse teksten når man står med BVM'en i nogelunde strakt arm. Sproget skal være engelsk, da der ønskes et sprog som kan læses af formentlig alle plastikkirurger. UI skal fejlmelde når der opstår uventet fejl

### Lovgivning for medicinsk udstyr

BMV'en skal overholde lovgivningen for et medicinsk device. BMV'en skal som et klasse I udstyr og et målingsudstyr opfylde bilag VII og være i overensstemmelse med processerne i bilag VI,V eller VI gældende for metrologisk udstyr.

#### 1.4.1 Kalibrering

BMV'en skal kunne kalibreres efter temperatur og luftfugtighed, da disse kan have en indflydelse på målingens output.

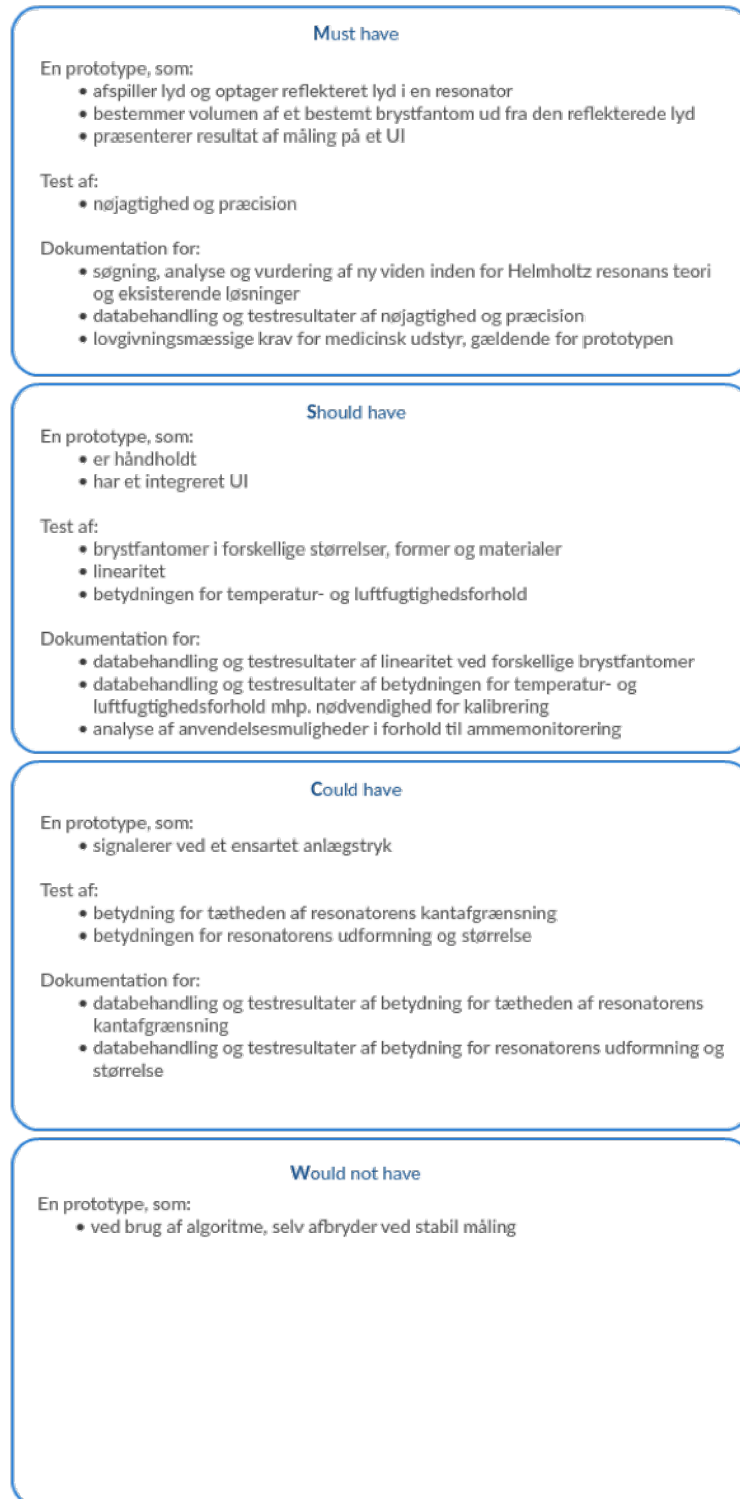
### Nøjagtighed, præcision og linearitet

BMV'en skal måle nøjagtige og præcise, for at målingerne er valide og kan bruge i praksis. Der skal kunne vises en linearitet ved målinger, så målingerne kan bruge i hele bryststørrelsesspektret.

## 1.5 Projektafgrænsning

MoSCoW-modellen er en prioriteringsmetode, som anvendes til afgrænsning af projektet. Modellen beskriver, hvilke dele og krav i projektet, som skal opfyldes (**M**ust), bør opfyldes (**S**hould), kan opfyldes (**C**ould) og ikke vil opfyldes (**W**ould not have). Således gives en struktureret oversigt over, hvilke krav, der er vigtigst at få opfyldt inden for den givne tidsramme, og endvidere, hvilke krav, som efterfølgende med fordel kan implementeres, hvis tidsramme tillader det. Figur 1.3 viser, hvordan de enkelte dele og krav i projektet prioriteres i henhold til MoSCoW-metoden.

## MoSCoW-model



Figur 1.3: MoSCoW-model, hvor blablabla €€€

## 1.6 Samarbejdspartnere

Kravspecifikationen er udarbejdet gennem et samarbejde med flere parter. Først og fremmest er projektets kravspecifikation til den endelige prototype specificeret i et samarbejde med projektets kunde, speciallæge i plastikkirurgi, Pavia Lumholt. Derudover er projektet tilknyttet en vejleder, lektor Samuel Alberg Thrysøe, med speciale i signalbehandling, som vejleder ved eventuelle problemstillinger. Endvidere indgår eksterne konsulenter, som reviewer's på indholdet af kravspecifikationen.

# Dokumentation af

# accepttest 2

---

## 2.1 Indledning

Dette kapitel indeholder dokumentation for udarbejdelsen af accepttesten, som er et værktøj til at validere de specificerede krav fra €.

### 2.1.1 Formål

### 2.1.2 Læsevejledning

### 2.1.3 Versionshistorik

## 2.2 Accepttest-protokol

Denne protokol beskriver alle de forhold og forudsætninger, som skal være opfyldt for at kunne udføre accepttest af den akustiske brystvolumenmåler.

### 2.2.1 Formål

Formålet med denne protokol er at specificere accepttest-aktiviteterne gældende for brystvolumenmåleren.

### 2.2.2 Referencer

€€ Eksempelvis UC#1

### 2.2.3 Forkortelser

€€

### 2.2.4 Ansvar

*Ved underskrift på protokollen bekræfter:*

Kunde - Projektansvarlig

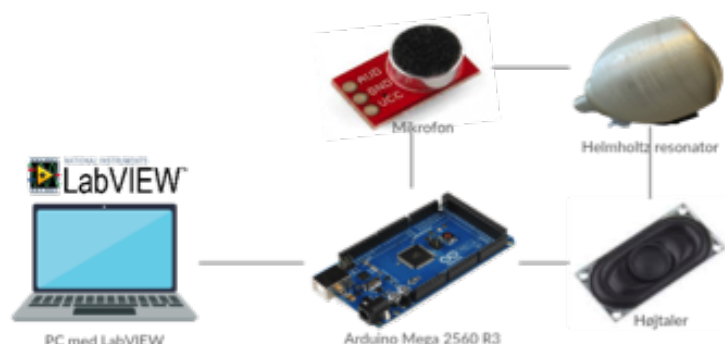
- *at indholdet er komplet og entydigt*
- *at det tekniske indhold og metoder er i orden og dækkende for de planlagte tests*
- *at den projektansvarlige er enig i omfang, metode og acceptkriterier*

Udviklere - Projektansvarlige

- *at det tekniske indhold og metoder er i orden og dækkende for de planlagte tests*

### 2.2.5 Udstyrsbeskrivelse

Den akustiske brystvolumenmåler består af en Helmholtz resonator, hvor der er påmonteret en højttaler og en mikrofon. Højttaleren og mikrofonen er koblet til en Arduino Mega 2560 R3. Arduino'en er koblet til en PC, hvor der skrives til Arduino i LabVIEW. Brystvolumenmåleren benyttes af en plastikkirurg, som bruger BMV'en når han ønsker et objektivt volumenmål på et bryst. Når en måling initialiseres med BVM'en afsendes en lyd i resonatoren via højttaleren. Mikrofonen på resonatoren opsamler den reflekterede lyd, og ud fra den reflekterede lyd, udregner en algoritme størrelsen på brystvolumen.



Figur 2.1: Beskrivelse af systemets komponenter €€€€

### 2.2.6 Acceptkriterier

*Acceptkriterierne er afledt af de forhold, der er specificeret i Kravspecifikationen, kapitel 1. Acceptkriterierne er specificeret i de enkelte testskemaer.*

### 2.2.7 Metode

Dette afsnit specificerer de retningslinjer, hvorefter accepttesten skal afvikles.

#### Dokumentsammenhæng

illustreres €€ Indsæt oversigt, med inspiration fra s. 204

#### Generelle krav

Afviklingen af accepttesten skal overholde følgende nøglekrav:

- *Protokollen skal være godkendt, før aktiviteter udføres*
- *Afvielser skal registreres og rettelser udføres*
- *Dataindsamling og registreringer skal udføres i overensstemmelse med »god testpraksis«*
- *Data skal granskes for rigtighed og fuldstændighed*
- *Accepttesten skal udarbejdes og godkendes, som bevis på den gennemførte accepttest*

#### Acceptkriterier

Dette afsnit beskriver, hvordan testskemaerne specifikt skal udfyldes.

- *Alle krav skal opfylde de specificerede acceptkriterier i hvert enkelte testskema.*
- *De aktuelle observationer skal svare til de forventede observationer*
- *I »Godkendt«-kolonnen skrives »Ja«, hvis acceptkriteriet er overholdt.*
- *I »Godkendt«-kolonnen skrives »Nej« samt afvigelsesnummer, hvis acceptkriteriet ikke er overholdt.*

#### Afvigelseshåndtering

Afvielser registreres under udførelsen af accepttesten og dokumenteres ved udarbejdelse af afvigelsesbilag, hvor følgende punkter opfyldes:

- Afvigelse og årsag til afvigelsen beskrives*
- Aktion for opfyldelse af acceptkriterier angives*
- Resultat af gennemført aktion dokumenteres*

### Afslutning af accepttest-aktiviteter

Ved afslutningen af accepttest-aktiviteterne, udarbejdes en accepttest-rapport. Denne rapport lukker accepttest-aktiviteterne, og fungerer som bevis for, at den gennemførte test af brystvolumenmåleren, er afsluttet med et tilfredsstillende resultat.

Accepttest-rapporten omhandler følgende punkter:

- *Konklusion på den gennemførte accepttest*
- *Kopi af godkendt protokol*
- *Afvigelsesblad med korrektive aktioner*
- *Udfyldte testskemaer*

### 2.2.8 Oversigt over testdokumenter

€€ Her angives de specifikke testdokumenter i en tabel. Obs, på eventuelle referencer til kravspec.

### 2.2.9 Forudsætning for udførelse af accepttest

€€ Hvad forudsætter afgørelsen for igangsættelse af accepttest / når det og det er opfyldt, startes accepttest

## 2.3 Accepttest



# Implementering 3

---

## 3.1 Indledning

Dette kapitel indeholder enhedstest, integrationstest samt €€€€€€€€€€accept-test. Alle udførte tests er reproducerbare, hvilket afspejles i den høje detaljegrad som testene er beskrevet i. For at kunne reproducere beskrevne tests, forventes et kendskab til Labview, herunder LINX [LabVIEW MakerHub].

### 3.1.1 Formål

### 3.1.2 Læsevejledning

€ Her indsættes beskrivelse samt oversigt at navngivning til tests (i en smuk tabel)

### 3.1.3 Versionshistorik

Tabel 3.1: Tabeloversigt over udførte enhedstests

| Test-ID   | Emne      | ID: navn                                   |
|-----------|-----------|--|
| E01-H1    | Højttaler | H1: ABS-224-RC                             |
| E02-M1    | Mikrofon  | M1: Minijack PC Mikrofon                   |
| E03-H2    | Højttaler | H2: Wide Band 2,5" SB65WBAC25-4            |
| E04-M1    | Mikrofon  | M1: Minijack PC Mikrofon (udvidet test)    |
| E05-M2    | Mikrofon  | M2: Logitech HD WEBCAM C270                |
| E06-M3    | Mikrofon  | M3: Electret Microphone BOB12758           |
| E07-M4    | Mikrofon  | M4: Electret Microphone Amplifier MAX4466  |
| E08-M4    | Mikrofon  | M4: Electret Microphone Amplifier MAX4466  |
| E09-M4    | Mikrofon  | M4: Electret Microphone Amplifier MAX4466  |
| E10-H3    | Højttaler | H3: Multimedia USB Speaker HP-1800         |
| E11-VI02G | Software  | VI02G: LabVIEW VI: genererfrekvenssignal01 |
| E12-VI01Q | Software  | VI01Q: LabVIEW VI: optagefrekvenssignal01  |
| E13-VI02Q | Software  | VI02Q: LabVIEW VI: optagefrekvenssignal02  |
| E14-VI05Q | Software  | VI05Q: LabVIEW VI: optagefrekvenssignal05  |
| E15-VI06Q | Software  | VI06Q: LabVIEW VI: optagefrekvenssignal06  |
| E16-VI08Q | Software  | VI08Q: LabVIEW VI: optagefrekvenssignal08  |

Tabel 3.2: Tabeloversigt over udførte enhedstests 2

| Test-ID   | Emne       | ID: navn   |
|-----------|------------|--|
| E01-H1    | Højttaler  | H1: ABS-224-RC   |
| E02-M1    | Mikrofon   | M1: Minijack PC Mikrofon   |
| E03-H2    | Højttaler  | H2: Wide Band 2,5" SB65WBAC25-4                                  |
| E04-M1    | Mikrofon   | M1: Minijack PC Mikrofon (udvidet test)                          |
| E05-M2    | Mikrofon   | M2: Logitech HD WEBCAM C270                                      |
| E06-M3    | Mikrofon   | M3: Electret Microphone BOB12758                                 |
| E07-M4    | Mikrofon   | M4: Electret Microphone Amplifier MAX4466 (2.5 V strømforsyning) |
| E08-M4    | Mikrofon   | M4: Electret Microphone Amplifier MAX4466 (5 V strømforsyning)   |
| E09-M4    | Mikrofon   | M4: Electret Microphone Amplifier MAX4466 (frekvensbånd)         |
| E10-H3    | Højttaler  | H3: Multimedia USB Speaker HP-1800                               |
| E11-VI02G | LabVIEW VI | VI02G: LabVIEW VI: genererfrekvenssignal01                       |
| E12-VI01Q | LabVIEW VI | VI01Q: optagefrekvenssignal01.vi                                 |
| E13-VI02Q | LabVIEW VI | VI02Q: optagefrekvenssignal02.vi                                 |
| E14-VI05Q | LabVIEW VI | VI05Q: optagefrekvenssignal05.vi                                 |
| E15-VI06Q | LabVIEW VI | VI06Q: optagefrekvenssignal06.vi                                 |
| E16-VI08Q | LabVIEW VI | VI08Q: optagefrekvenssignal08.vi                                 |

## 3.2 Enhedstest

Dette afsnit beskriver de indledende funktionstests, hvor hver enkelte selvstændige funktion i systemet afprøves.

### 3.2.1 E01-H1

#### Testhypotese

Der kan genereres en lyd gennem højttaleren ABS-224-RC ved brug af Arduino Mega 2560 R3 og NI LabVIEW 2014.

#### Produktspecifikationer

##### *Hardware:*

Højttaler: ABS-224-RC

Højttalerkabel: Rød/Sort

2 stk. Male Single Row Pin Header Strip 2.54 mm.

Arduino Mega 2560 R3

PC

USB kabel Hi-speed 2.0 shield 28AWG/2C+24AWG/2C Han USB A - Han USB B

##### *Software:*

NI LabVIEW 2014

NI VISA 15.0.1

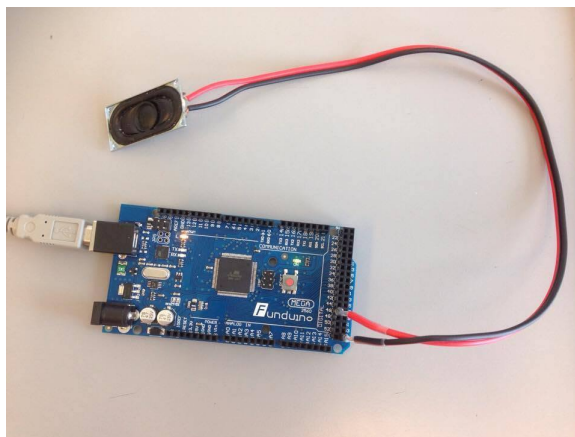
VI Package Manager

ARDUINO 1.6.12

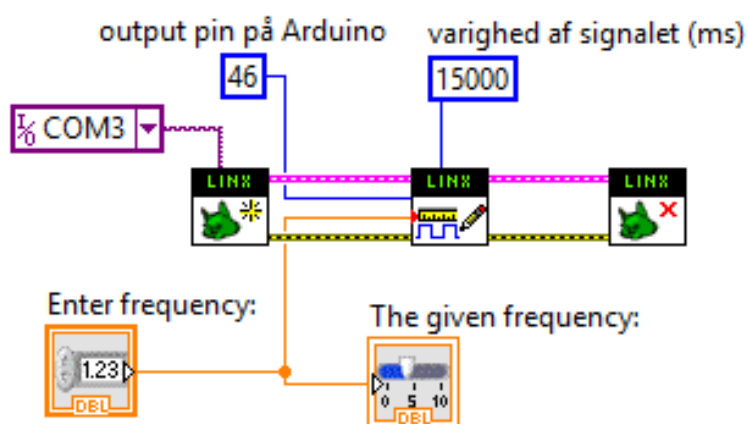
#### Opstilling og opsætning

Højttaleren er loddet til højttalerkablets ene ende, og pin headerne er loddet til kablets anden ende. Pin headerne er isat Arduino'en i pin 46 (PL3(OC5A)), som et er digitalt PWM output, og til ground (GND). Arduino'en er med et USB kabel koblet til PC'en. Delopstillingen er vist i figur 3.1.

På PC'en er `genererfrekvenssignal02.vi` åbnet i LabVIEW. *Serial port*, *Channel* og *Duration* er sat op, som givet i blokdiagrammet, vist i figur 3.2.



Figur 3.1: Delopstilling af 3.2.1 E01-H1, hvor højttaler er tilkoblet Arduino.



Figur 3.2: I blokdiagrammet `genererfrekvenssignal02.vi` er der anvendt følgende LINX-VI'er; Initialize, Digital Write Square Wave samt Close.

### Udførsel

1. I *Enter Frequency* på frontpanelet i `genererfrekvenssignal02.vi`, indtastes 500.
2. Der trykkes på *Run*.
3. Der lyttes efter lydsignal fra højttaleren.

### Resultater

Der høres en lyd fra højttaleren.

### Diskussion

-

### Konklusion

Hypotesen er accepteret idet der kan genereres en lyd gennem højttaleren ved brug af Arduino Mega 2560 R3 og NI LabVIEW 2014.

### Aktion

-

### 3.2.2 E02-M1

#### Testhypotese

Der kan gennem Minijack PC Mikrofonopfanges en lyd.

#### Produktspecifikationer

*Hardware:*

Minijack PC Mikrofon

PC

*Software:*

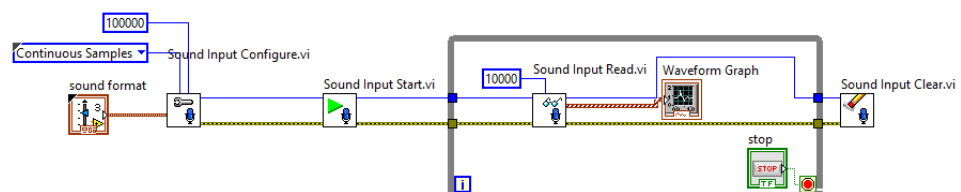
NI LabVIEW 2014

[www.onlinetonegenerator.com](http://www.onlinetonegenerator.com)

#### Opstilling og opsætning

Mikrofonen er sat i PC'ens minijack-stik.

På PC'en er `optagefrekvenssignal01.vi` åbnet i LabVIEW. VI'et er opbygget af *Graphics and sound* komponenter. Komponenterne, forbindelserne og de angivende værdier er vist i blokdiagrammet, i figur 3.3.



Figur 3.3: I blokdiagrammet `optagefrekvenssignal01.vi` opsamles lydsignalet, som vises i en graf på frontpanelet.

`www.onlinetonegenerator.com` er åbnet i en browser på PC'en.

### Udførsel

1. I VI'et `optagefrekvenssignal01.vi`, trykkes på *Run*.
  - a) Der genereres en hørbar lyd til mikrofonen fra `onlinetonegenerator.com`.
  - b) På frontpanelet i VI'et observeres om mikrofonen opfanger en lyd, ved at grafen viser amplitudeudsving.
2. I VI'et `optagefrekvenssignal01.vi`, trykkes på *Run*.
  - a) Mikrofonen dækkes nu med en hånd mhp. at mikrofonen ikke opfanger en lyd.
  - b) Der genereres en hørbar lyd til mikrofonen fra `onlinetonegenerator.com`.
  - c) På frontpanelet i VI'et observeres om mikrofonen opfanger en lyd, ved at grafen viser amplitudeudsving.

### Resultater

Ad1. Der er observeret et amplitudeudsving på grafen. Mikrofonen har opfanget en lyd.

Ad2. Der er ikke observeret et amplitudeudsving på grafen. Mikrofonen har ikke opfanget en lyd.

### Diskussion

-

### Konklusion

Idet der ikke opfanges en hørbar lyd i Ad2., konkluderes det, at den hørbare lyd, opfanges gennem Ad1. Hypotesen accepteres idet mikrofonen opfanger en lyd.

### Aktion

-

### 3.2.3 E03-H2

#### Testhypotese

Der kan genereres en lyd gennem højttaleren ved brug af Arduino Mega 2560 R3 og NI LabVIEW 2014.

### Produktspecifikationer

#### *Hardware:*

Højttaler: Wide Band 2.5" SB65WBAC25-4

Højttalerkabel: Rød/Sort

Kabelsko: Rød fladstik hun, str. 0.25-1.65 mm<sup>2</sup>, 6.6 mm bred fladstik

2 stk. Male Single Row Pin Header Strip 2.54 mm.

Arduino Mega 2560 R3

PC

USB kabel Hi-speed 2.0 shield 28AWG/2C+24AWG/2C Han USB A - Han USB B

#### *Software:*

NI LabVIEW 2014

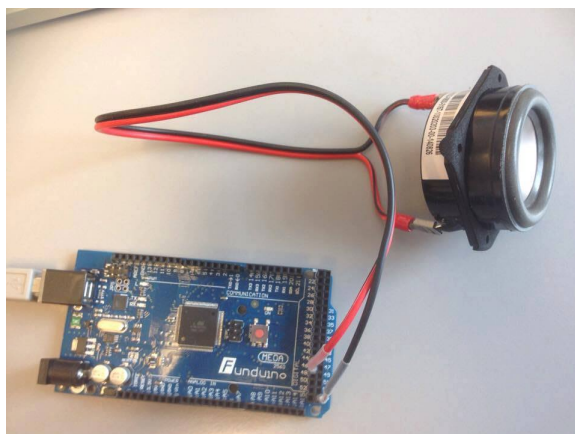
NI VISA 15.0.1

VI Package Manager

ARDUINO 1.6.12

### Opstilling og opsætning

Højttalerkablets ene ende er påsat kabelsko, som er påsat højttaleren. Til kablets anden ende er pin headere loddet fast. Pin headerne er isat Arduino'en i pin 46 (PL3(OC5A)), som et er digitalt PWM output, og til ground (GND). Arduino'en er med et USB kabel koblet til PC'en. Delopstillingen er vist i figur 3.4.



Figur 3.4: Delopstilling af 3.2.3 E03-H2, hvor højttaler er tilkoblet Arduino.

På PC'en er *genererfrekvenssignal02.vi* åbnet i LabVIEW. *Serial port*, *Channel* og *Duration* er sat op, som givet i blokdiagrammet, vist i figur 3.2.



**Udførsel**

1. I *Enter Frequency* på frontpanelet i `genererfrekvenssignal02.vi`, indtastes 500.
2. Der trykkes på *Run*.
3. Der lyttes efter lydsignal fra højttaleren.

**Resultater**

Der høres en lyd fra højttaleren.

**Diskussion**

-

**Konklusion**

Hypotesen er accepteret idet der kan genereres en lyd gennem højttaleren ved brug af Arduino Mega 2560 R3 og NI LabVIEW 2014.

**Aktion**

-

**3.2.4 E04-M1****Testhypotese**

Der kan gennem Minijack PC Mikrofon opfanges en lyd.

**Produktspecifikationer***Hardware:*

Minijack PC Mikrofon (med 2 meter ledning)

PC

Smartphone

*Software:*

NI LabVIEW 2014

[www.onlinetonegenerator.com](http://www.onlinetonegenerator.com)

### Opstilling og opsætning

Mikrofonen er med en ledning tilsluttet PC'ens minijack-stik. PC'en er placeret i et rum, og mikrofonen med ledningen gennem den lukkede dør, er placeret i et andet rum. I en browser på smartphonen åbnes onlinetonegenerator.com. Smartphonen placeres ca. 2 cm fra mikrofonen.

På PC'en er `optagefrekvenssignal01.vi` åbnet i LabVIEW. VI'et er opbygget af *Graphics and sound* komponenter. Komponenterne, forbindelserne og de angivende værdier er vist i blokdiagrammet, i figur 3.3.

### Udførsel

1. I VI'et `optagefrekvenssignal01.vi`, trykkes på *Run*.
2. Der generes en lyd i onlinetonegenerator.com til mikrofonen.
3. På frontpanelet i VI'et observeres amplitudeudsving på grafen.

### Resultater

Der blev ikke observeret et amplitudeudsving på grafen.

### Diskussion

-

### Konklusion

Mikrofonen har ikke opfanget en lyd, og hypotesen forkastes.

### Aktion

Det undersøges, hvilke årsager der er skyld i, at mikrofonen ikke opfanger et frekvenssignal.

### 3.2.5 E05-M2

#### Testhypotese

Der kan gennem Logitech HD WEBCAM C270 opfanges en lyd.

### Produktspecifikationer

#### *Hardware:*

Logitech HD WEBCAM C270 (med 1,5 meter ledning)

PC

Smartphone

#### *Software:*

NI LabVIEW 2014

[www.onlinetonegenerator.com](http://www.onlinetonegenerator.com)

### Opstilling og opsætning

Webkameraet er tilsluttet PC'ens USB-port. PC'en er placeret i et rum, og webkameraet med ledningen gennem den lukkede dør, er placeret i et andet rum. I en browser på smartphonen åbnes [onlinetonegenerator.com](http://onlinetonegenerator.com). Smartphonen placeres ca. 2 cm fra mikrofonen.

På PC'en er `optagefrekvenssignal01.vi` åbnet i LabVIEW. VI'et er opbygget af *Graphics and sound* komponenter. Komponenterne, forbindelserne og de angivende værdier er vist i blokdiagrammet, i figur 3.3.

### Udførsel

1. I VI'et `optagefrekvenssignal01.vi`, trykkes på *Run*.
2. Der generes en lyd i [onlinetonegenerator.com](http://onlinetonegenerator.com) til mikrofonen.
3. På frontpanelet i VI'et observeres amplitudeudsving på grafen.

### Resultater

Der blev observeret et amplitudeudsving på grafen.

### Diskussion

-

### Konklusion

Mikrofonen har opfanget en lyd, og hypotesen accepteres.

**Aktion**

Denne mikrofon er ikke hensigtsmæssig til brug i den videre test, da den er for stor til at kunne påsættes resonatoren. Næste skridt er at finde en mindre mikrofon med USB-stik.

**3.2.6 E06-M3****Testhypotese**

Der kan gennem Electret Microphone Breakout BOB 12758 opfanges lydssignaler i frekvensbåndet i intervallet 20 Hz - 10 kHz.

**Produktspecifikationer***Hardware:*

Electret Microphone Breakout BOB 12758

3 stk. Male Single Row Pin Header Strip 2.54 mm.

Mikrofonkabler: Rød/Sort/Blå

Krympeflex 2:1

Multifunction Data Acquisition (DAQ) USB-6009

USB kabel: National Instruments USB A/B 2.0 Cable (1 Meter)

PC

*Software:*

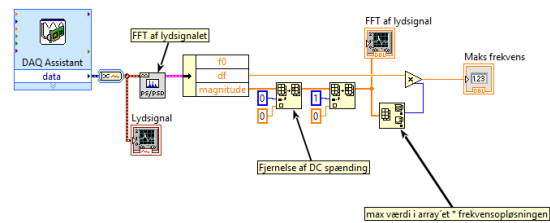
NI LabVIEW 2014

LabVIEW2014-NI-DAQmx-14

[www.onlinetonegenerator.com](http://www.onlinetonegenerator.com)

**Opstilling og opsætning**

På kablerne er pins fastloddet, som igen er loddet fast til mikrofonprintet. Det røde kabel forbinder mikrofonprintets "AUD" til "+AI0"-indgangen på DAQ'en. Det sorte kabel forbinder mikrofonprintets "GND" til "GND"-indgangen på DAQ'en. Det blå kabel forbinder mikrofonprintets "VCC" til "+5V" på DAQ'en. DAQ'en er med USB-kablet tilkoblet PC'en, hvorpå `optagefrekvenssignal04.vi` er åbnet i LabVIEW. Blockdiagrammet for VI'et er vist i figur 3.5. I en browser på PC'en er [onlinetonegenerator.com](http://onlinetonegenerator.com) åbnet.



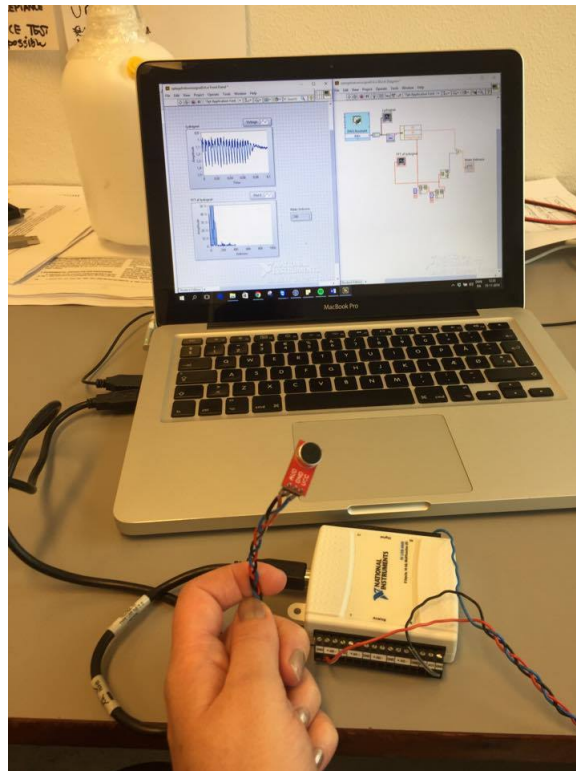
Figur 3.5: Blokdiagram for VI'et optagefrekvenssignal04.vi.

Testopstillingen er vist i figur 3.6.

### Udførsel

1. I VI'et `optagefrekvenssignal04.vi`, trykkes på *Run*.
2. Der genereres et signal med følgende frekvens: 100 Hz, 500 Hz, 1 kHz, 5 kHz og 10 KHz fra [onlinetonegenerator.com](http://onlinetonegenerator.com)
3. På frontpanelet i VI'et observeres amplitudeudsving på grafen.
4. Resultatet aflæses i *Maks. frekvens* på VI'ets frontpanel.

Testen foretages to gange for hver frekvens.



Figur 3.6: Testopstilling for 3.2.6 E06-M3

## Resultater

Resultaterne vises i tabel 3.3

## Diskussion

Skyldes de unøjagtige resultater ved 100 Hz, 500 Hz og 10000 Hz, at PC højtalers frekvensbånd ikke er bredt nok til at udsende disse signaler?

## Konklusion

Ved et signal med en frekvens på hhv. 100 Hz, 5 kHz og 10 kHz er resultaterne ikke tilnærmelsesvis de udsendte frekvenser. Det kan ikke konkluderes, hvorvidt det skyldes mikrofonen eller PC'ens højtalere. Hypotesen må derfor forkastes.

## Aktion

Det undersøges, hvilke årsager der er skyld i, at der opnås unøjagtige resultater.

### 3.2.7 E07-M4

#### Testhypotese

Der kan gennem Electret Microphone Amplifier - MAX4466 opfanges lydsignaler i frekvensbåndet i intervallet 20 Hz - 10 kHz med 2.5 V strømforsyning.

#### Produktspecifikationer

*Hardware:*

Electret Microphone Amplifier - MAX4466

3 stk. Male Single Row Pin Header Strip 2.54 mm.

Mikrofonkabler: Rød/Sort/Blå

Tabel 3.3: Tabel over resultater af 3.2.6 E06-M3.

| Udsendt frekvens [Hz] | 1. resultat | 2. resultat |
|-----------------------|-------------|-------------|
| 100                   | 20          | 40          |
| 500                   | 500         | 500         |
| 1000                  | 1000        | 1000        |
| 5000                  | 3000        | 3000        |
| 10000                 | 20          | 50          |

Krympeflex 2:1

Multifunction Data Acquisition (DAQ) USB-6009

USB kabel: National Instruments USB A/B 2.0 Cable (1 Meter)

PC

*Software:*

NI LabVIEW 2014

LabVIEW2014-NI-DAQmx-14

[www.onlinetonegenerator.com](http://www.onlinetonegenerator.com)

### Opstilling og opsætning

På kablerne er pins fastloddet, som igen er loddet fast til mikrofonprintet. Det røde kabel forbinder mikrofonprintets "AUD" til "+AI0"-indgangen på DAQ'en. Det sorte kabel forbinder mikrofonprintets "GND" til "GND"-indgangen på DAQ'en. Det blå kabel forbinder mikrofonprintets "VCC" til "+2.5V" på DAQ'en. DAQ'en er med USB-kablet tilkoblet PC'en, hvorpå `optagefrekvenssignal04.vi` er åbnet i LabVIEW. Blockdiagrammet for VI'et er vist i figur 3.5. I en browser på PC'en er [onlinetonegenerator.com](http://onlinetonegenerator.com) åbnet.

### Udførsel

1. I VI'et `optagefrekvenssignal04.vi`, trykkes på *Run*.
2. Der generes et signal med følgende frekvens: 20 Hz, 50 Hz, 100 Hz, 1 kHz og 10 KHz fra [onlinetonegenerator.com](http://onlinetonegenerator.com).
3. På frontpanelet i VI'et observeres efter amplitudeudsving på grafen.
4. Resultatet aflæses i *Maks. frekvens* på VI'ets frontpanel.

Testen foretages to gange for hver frekvens.

### Resultater

Resultaterne vises i tabel 3.4.

### Diskussion

I beskrivelsen af mikrofonens specifikationer anbefales det at bruge 2.5 V, som er den mest støjsvage forsyning. €€€ <https://www.adafruit.com/products/1063> Skyldes de

Tabel 3.4: Tabel over resultater af 3.2.7 E07-M4.

| Udsendt frekvens [Hz] | 1. resultat | 2. resultat |
|-----------------------|-------------|-------------|
| 20                    | 96          | 96          |
| 50                    | 22          | 15          |
| 100                   | 95          | 95          |
| 1000                  | 1000        | 1000        |
| 10000                 | 4           | 15          |

afvigende resultater, at der kun bruges 2.5 V strømforsyning til at opsamle lyden?

### Konklusion

Ved et signal med en frekvens på hhv. 20 Hz, 50 Hz, 100 Hz, og 10 kHz er resultaterne ikke tilnærmelsesvis de udsendte frekvenser. Det kan ikke konkluderes, hvorvidt det skyldes mikrofonen, et begrænset frekvensbånd på PC'ens højttaler eller en for lav strømforsyning til mikrofonen. Hypotesen må derfor forkastes.

### Aktion

Der foretages en ny enhedstest af Electret Microphone Amplifier - MAX4466 med en strømforsyning på 5 V.

### 3.2.8 E08-M4

#### Testhypotese

Der kan gennem Electret Microphone Amplifier - MAX4466 opfanges lydsignaler i frekvensbåndet i intervallet 20 Hz - 10 kHz med 5 V strømforsyning.

#### Produktspecifikationer

##### *Hardware:*

Electret Microphone Amplifier - MAX4466

3 stk. Male Single Row Pin Header Strip 2.54 mm.

Mikrofonkabler: Rød/Sort/Blå

Krympeflex 2:1

Multifunction Data Acquisition (DAQ) USB-6009

USB kabel: National Instruments USB A/B 2.0 Cable (1 Meter)

PC



*Software:*

NI LabVIEW 2014

LabVIEW2014-NI-DAQmx-14

www.onlinetonegenerator.com

### Opstilling og opsætning

På kablerne er pins fastloddet, som igen er loddet fast til mikrofonprintet. Det røde kabel forbinder mikrofonprintets "AUD" til "+AI0"-indgangen på DAQ'en. Det sorte kabel forbinder mikrofonprintets "GND" til "GND"-indgangen på DAQ'en. Det blå kabel forbinder mikrofonprintets "VCC" til "5V" på DAQ'en. DAQ'en er med USB-kablet tilkoblet PC'en, hvorpå `optagefrekvenssignal04.vi` er åbnet i LabVIEW. Blockdiagrammet for VI'et er vist i figur 3.5. I en browser på PC'en er onlinetonegenerator.com åbnet.

### Udførsel

1. I VI'et `optagefrekvenssignal04.vi`, trykkes på *Run*.
2. Der generes et signal med følgende frekvens: 20 Hz, 50 Hz, 100 Hz, 1 kHz og 10 KHz fra onlinetonegenerator.com.
3. På frontpanelet i VI'et observeres efter amplitudeudsving på grafen.
4. Resultatet aflæses i *Maks. frekvens* på VI'ets frontpanel.

Testen foretages to gange for hver frekvens.

### Resultater

Resultaterne vises i tabel 3.5.

Tabel 3.5: Tabel over resultater af 3.2.8 E08-M4.

| Udsendt frekvens [Hz] | 1. resultat | 2. resultat |
|-----------------------|-------------|-------------|
| 20                    | 20          | 40          |
| 50                    | 80          | 100         |
| 100                   | 20          | 700         |
| 1000                  | 1000        | 1000        |
| 10000                 | 40          | 20          |

**Diskussion**

Strømforsyningen på 5 V gjorde ikke afvigelserne i resultaterne mindre. Kan det være frekvensbåndet i PC'ens højttalere som ikke er bredt nok til at afspille det ønskede frekvensbånd?

**Konklusion**

Ved et signal med en frekvens på hhv. 20 Hz, 50 Hz, 100 Hz, og 10 kHz er resultaterne ikke tilnærmelsesvis de udsendte frekvenser. Det kan ikke konkluderes, hvorvidt det skyldes mikrofonen eller et begrænset frekvensbånd på PC'ens højttaler. Hypotesen må derfor forkastes.

**Aktion**

Frekvensbåndet mellem 100 - 1000 Hz ønskes testet, da det muligvis kan være tilstrækkeligt til det videre testforløb.

**3.2.9 E09-M4****Testhypotese**

Der kan gennem Electret Microphone Amplifier - MAX4466 opfanges lydsignaler i frekvensbåndet i intervallet 100 Hz - 1 kHz med 5 V strømforsyning.

**Produktspecifikationer***Hardware:*

Electret Microphone Amplifier - MAX4466

3 stk. Male Single Row Pin Header Strip 2.54 mm.

Mikrofonkabler: Rød/Sort/Blå

Krympeflex 2:1

Multifunction Data Acquisition (DAQ) USB-6009

USB kabel: National Instruments USB A/B 2.0 Cable (1 Meter)

PC

*Software:*

NI LabVIEW 2014

LabVIEW2014-NI-DAQmx-14

[www.onlinetonegenerator.com](http://www.onlinetonegenerator.com)

### Opstilling og opsætning

På kablerne er pins fastloddet, som igen er loddet fast til mikrofonprintet. Det røde kabel forbinder mikrofonprintets "AUD" til "+AI0"-indgangen på DAQ'en. Det sorte kabel forbinder mikrofonprintets "GND" til "GND"-indgangen på DAQ'en. Det blå kabel forbinder mikrofonprintets "VCC" til "5V" på DAQ'en. DAQ'en er med USB-kablet tilkoblet PC'en, hvorpå `optagefrekvenssignal04.vi` er åbnet i LabVIEW. Blockdiagrammet for VI'et er vist i figur 3.5. I en browser på PC'en er [onlinetonegenerator.com](http://onlinetonegenerator.com) åbnet.

### Udførsel

1. I VI'et `optagefrekvenssignal04.vi`, trykkes på *Run*.
2. Der generes et signal med følgende frekvens: 100 Hz, 150 Hz, 200 Hz, 300, 400 Hz, 500 Hz, 600 Hz, 700 Hz, 800 Hz, 900 Hz og 1 kHz fra [onlinetonegenerator.com](http://onlinetonegenerator.com).
3. På frontpanelet i VI'et observeres efter amplitudeudsving på grafen.
4. Resultatet aflæses i *Maks. frekvens* på VI'ets frontpanel.

Testen foretages to gange for hver frekvens.

### Resultater

Resultaterne vises i tabel 3.6.

### Diskussion

Resultaterne af det udsendte frekvenssignal på 100 Hz er afvigende. Det kan muligvis skyldes et begrænset frekvensbånd i PC-højttaleren.

### Konklusion

Mikrofonen kan ikke opfange et frekvenssignal på 100 Hz. Hypotesen må derfor forkastes.

Tabel 3.6: Tabel over resultater af 3.2.9 E09-M4.

| Udsendt frekvens [Hz] | 1. resultat | 2. resultat |
|-----------------------|-------------|-------------|
| 100                   | 20          | 80          |
| 150                   | 150         | 150         |
| 200                   | 200         | 200         |
| 300                   | 300         | 300         |
| 400                   | 400         | 400         |
| 500                   | 500         | 500         |
| 600                   | 600         | 600         |
| 700                   | 700         | 700         |
| 800                   | 800         | 800         |
| 900                   | 900         | 900         |
| 1000                  | 1000        | 1000        |

**Aktion**

Da mikrofonen kan opfange et frekvensbånd fra 150 Hz - 1 kHz med en nøjagtighed på 100 pct., besluttes det at anvende mikrofonen i det videre testforløb.

**3.2.10 E10-H3****Testhypotese**

Højttaleren Multimedia USB Speaker HP-1800 kan generere signaler med frekvenser i intervallet 20 Hz - 1500 Hz.

**Produktspecifikationer***Hardware:*

Electret Microphone Amplifier - MAX4466

3 stk. Male Single Row Pin Header Strip 2.54 mm.

Mikrofonkabler: Rød/Sort/Blå

Krympeflex 2:1

Multifunction Data Acquisition (DAQ) USB-6009

USB kabel: National Instruments USB A/B 2.0 Cable (1 Meter)

Multimedia USB Speaker HP-1800

PC

*Software:*

NI LabVIEW 2014

LabVIEW2014-NI-DAQmx-14

[www.onlinetonegenerator.com](http://www.onlinetonegenerator.com)

## Opstilling og opsætning

### Opstilling og opsætning

På kablerne er pins fastloddet, som igen er loddet fast til mikrofonprintet. Det røde kabel forbinder mikrofonprintets "AUD" til "+AI0"-indgangen på DAQ'en. Det sorte kabel forbinder mikrofonprintets "GND" til "GND"-indgangen på DAQ'en. Det blå kabel forbinder mikrofonprintets "VCC" til "5V" på DAQ'en. DAQ'en er med USB-kablet tilkoblet PC'en, hvorpå `optagefrekvenssignal04.vi` er åbnet i LabVIEW. Blockdiagrammet for VI'et er vist i figur 3.5. Højtaleren er tilsluttet PC'ens USB-port og minijack-stik, og er placeret ca. 2 cm. fra mikrofonen. I en browser på PC'en er [onlinetonegenerator.com](http://onlinetonegenerator.com) åbnet.

### Udførsel

1. Der generes et signal med henholdsvis følgende frekvens: 20 Hz, 75 Hz, 80 Hz, 90 Hz, 100 Hz, 150 Hz, 200 Hz, 300, 400 Hz, 500 Hz, 600 Hz, 700 Hz, 800 Hz, 900 Hz, 1000 Hz, 1100 Hz, 1200 Hz, 1300 Hz, 1400 Hz og 1500 Hz fra [onlinetonegenerator.com](http://onlinetonegenerator.com).
2. I VI'et `optagefrekvenssignal04.vi`, trykkes på *Run* efter hvert genereret frekvens.
3. På frontpanelet i VI'et aflæses frekvensen i *Maks. frekvens* for hvert genereret frekvens.

Testen foretages to gange for hver frekvens.

### Resultater

Resultaterne vises i tabel 3.7.

Tabel 3.7: Tabel over resultater af 3.2.10 E10-H3.

| Udsendt frekvens [Hz] | 1. resultat | 2. resultat |
|-----------------------|-------------|-------------|
| 20                    | 20          | 50          |
| 75                    | 70          | 80          |
| 80                    | 90          | 80          |
| 90                    | 90          | 90          |
| 100                   | 100         | 100         |
| 150                   | 150         | 150         |
| 200                   | 200         | 200         |
| 300                   | 300         | 300         |
| 400                   | 400         | 400         |
| 500                   | 500         | 500         |
| 600                   | 600         | 600         |
| 700                   | 700         | 700         |
| 800                   | 800         | 800         |
| 900                   | 900         | 900         |
| 1000                  | 1000        | 1000        |
| 1100                  | 1100        | 1100        |
| 1200                  | 1200        | 1200        |
| 1300                  | 1200        | 1200        |
| 1400                  | 1100        | 1100        |
| 1500                  | 1000        | 1000        |

### Diskussion

Frekvenser op til 90 Hz og frekvenser fra 1300 Hz til 1500 Hz afviger fra de udsendte frekvenser. Kan det muligvis skyldes mikrofonen ikke kan optage disse signaler, eller skyldes det højttaleren ikke kan generere frekvenserne?

### Konklusion

Hypotesen forkastes da højttaleren Multimedia USB Speaker HP-1800 ikke kan generere signaler med frekvenser i intervallet 20 Hz - 1500 Hz.

**Aktion**

Da højttaleren kan levere frekvenser fra 90 - 1200 Hz, besluttes det at anvende denne højttaler til det videre testforløb, hvor resonansfrekvens i et tomt kammer måles.

**3.2.11 E11-VI02G****Testformål**

Testhypotese: Der kan igennem LINX LabVIEW Makerhub oprettes en forbindelse til Arduino Mega 2560 r3.

**Produktspecifikationer***Hardware:*

Højttaler: ABS-224-RC

Højttalerkabel: Rød/Sort

2 stk. Male Single Row Pin Header Strip 2.54 mm.

Arduino Mega 2560 R3

PC

USB kabel Hi-speed 2.0 shield 28AWG/2C+24AWG/2C Han USB A - Han USB B

*Software:*

NI LabVIEW 2014

NI VISA 15.0.1

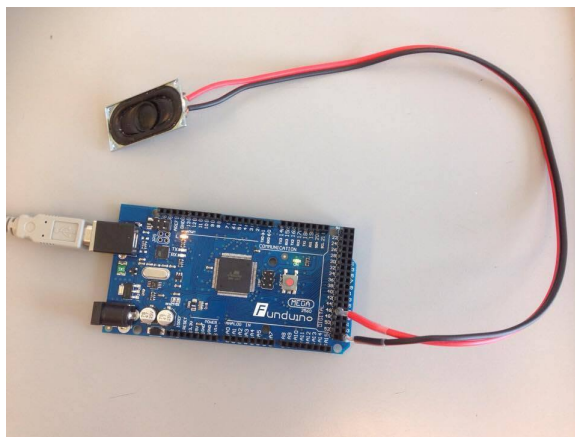
VI Package Manager

ARDUINO 1.6.12

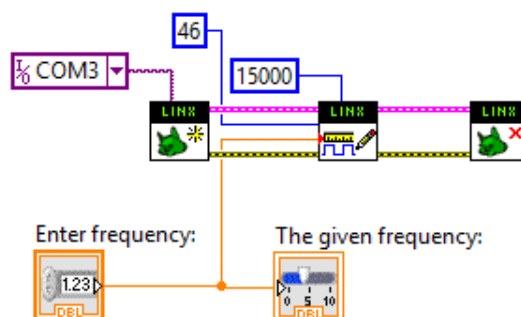
**Opstilling og opsætning**

Højttaleren er loddet til højttalerkablets ene ende, og pin headerne er loddet til kablets anden ende. Pin headerne er isat Arduino'en i pin 46 (PL3(OC5A)), som et er digitalt PWM output, og til ground (GND). Arduino'en er med et USB kabel koblet til PC'en. Testopstillingen er vist i figur 3.7.

I LabVIEW er det opbygget et VI *genererfrekvenssignal.VI* af LINX MakerHub komponenterne *Initialize.VI*, *Write square signal.VI* og *Close.VI*. I blokdiagrammet angives *serial port*, *Channel* og *Duration*. Blokdiagrammet ses i figur 3.8



Figur 3.7: Arduino med tilkoblet højttaler

Figur 3.8: Blokdiagram for *genererfrekvnessignal02.VI*

### Udførsel

1. I *Enter Frequency* på frontpanelet i *genererfrekvnessignal02.vi*, indtastes en selvvalgt frekvens.
2. Der trykkes på *Run*.
3. Der lyttes efter lydsignal fra højttaleren.

### Resultat

Der observeres en lyd ud fra højttaleren

### Diskusion

-

### Konklusion

Det konkluderes at det har været muligt at skabe en forbindelse igennem LINUX LabVIEW Makerhub til Arduino Mega 2560 r3.



### 3.2.12 E12-VI01O

#### Testformål

Testhypotese: Det er muligt at opfange en lyd ved brug af LabVIEWs *Graphics and sound* VI'er.

#### Produktspecifikationer

*Hardware:*

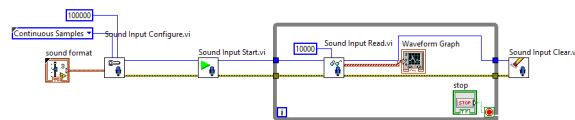
PC

*Software:*

NI LabVIEW 2014

#### Opstilling og opsætning

I LabVIEW er det opbygget et VI *optagefrekvenssignal01.VI* af *Graphics and sound* komponenter. Komponenterne, forbindelserne og de angivende værdier er vist i figur 3.9



Figur 3.9: Blokdiagram for *optagefrekvenssignal01.VI*

#### Udførsel

1. Der trykkes på *Run*.
2. Det snakkes ind i PC mikrofonen.
3. Der observeres efter udsving af amplituden i grafen på frontpanelet.

#### Resultat

I grafen på frontpanelet ses der udsving på amplituden når der snakkes til PC mikrofonen.

#### Diskusion

-

**Konklusion**

Hypotesen accepteres. Det har været muligt at opfange en lyd ved brug af LabVIEWs *Graphics and sound* VI'er.



**3.2.13 E13-VI02O**

Testformål

Produktspecifikationer

Opstilling og opsætning

Udførsel

Resultat

Diskusion

Konklusion

**3.2.14 E14-VI05O**

Testformål

Produktspecifikationer

Opstilling og opsætning

Udførsel

Resultat

Diskusion

Konklusion

**3.2.15 E15-VI06O**

Testformål

Produktspecifikationer

Opstilling og opsætning

Udførsel

Resultat

Diskusion

Konklusion

**3.2.16 E16-VI08O**

Testformål

---

Produktspecifikationer

Opstilling og opsætning

optages.

## Produktspecifikationer

*Hardware:*

PC

Multifunction Data Acquisition (DAQ) USB-6009

*Software:*

NI LabVIEW 2014

NI VISA 15.0.1

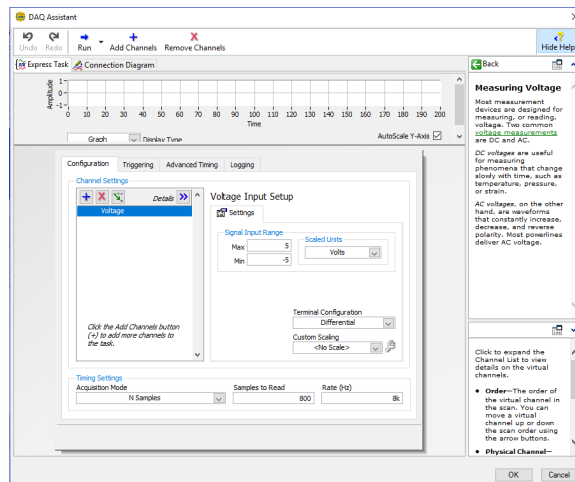
VI Package Manager

LabVIEW2014-NI-DAQmx-14

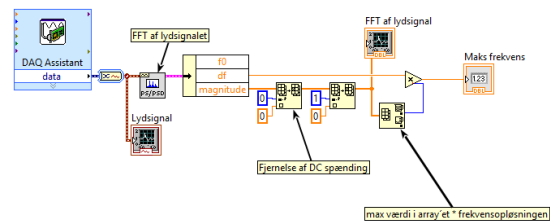
[www.onlinetonegenerator.com](http://www.onlinetonegenerator.com)

## Opstilling og opsætning

optagefrekvenssignal0.4.vi er åbnet og onlinetonegeneratoren er åbnet i browseren på PC'en. Blokdiagrammet er vist i figur ?? . I blokdiagrammet i optagefrekvenssignal0.4.vi åbnes DAQ assistant modulet og i *Samples to read* indtastes 800 og i *Rate(Hz)* indtastes 8000. Dette vises i figur 3.10. I onlinetonegeneratoren åbnes DMTF generatoren som er vist i figur 3.12



Figur 3.10: DAQ assistant modulet med korrekt indtastet værdier

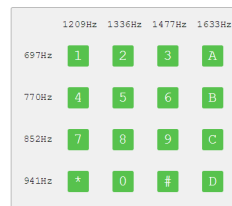


Figur 3.11: Blokdiagram for VI'et optagefrekvenssignal0.4.vi.

### Online Tone Generator

DTMF Dial Tones

The Online Tone Generator can be used to create Dual Tone Multi Frequency (DTMF) signals commonly heard on telephone dial pads. Each tone is simply the sum of two sine waves. Click and hold the dial pad buttons to hear each tone.



Figur 3.12: DTMF generatoren

### Udførsel

1. En DTMF tone 1 vælges i tonegeneratoren. Den højste frekvens i DTMF tonen noteres.
2. Tonen afspilles og der trykkes på run i VI'et som nu optager tonen.
3. Maksfrekvensen aflæses på frontpanlet i *Maks frekvens* og sammenholdes med den tidligere noteret maksfrekvens. Disse skulle gerne stemme overens.

Denne udførsel gentages med tone 5, 9 samt D fra DTMF generatoren.

### Resultater

### Diskussion

-

Tabel 3.8: Tabel over resultater

| DTMF tone | Højeste frekvens | Resultat |
|-----------|------------------|----------|
| 1         | 1209             | 1209,6   |
| 5         | 1336             | 1332,16  |
| 9         | 1477             | 1475,84  |
| D         | 1633             | 1633,4   |

### Konklusion

Resultaterne af testen ligger acceptabelt tæt på de afsendte frekvenser.

### Aktion

Det besluttes at godkende testen og bruge koden i det videre forløb.

### 3.2.18 SW LabVIEW volumenformel

#### Testformål

Denne test har til formål at afklare om den kodet helmholtzresonansformel i LabVIEW udregner korrekt volumen ud fra givet værdier.

#### Produktspecifikationer

*Hardware:*

PC

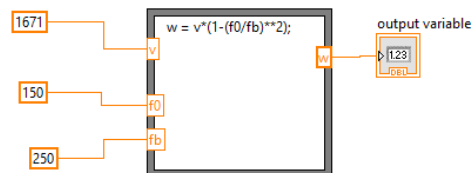
Texas Instruments TI-89

*Software:*

NI LabVIEW 2014

#### Opstilling og opsætning

HelmholtzresonansVolumenformel.vi er åbnet. Blokdiagrammet for VI'et ses i figur 3.13



Figur 3.13: Blokdiagram for VI'et Helmholtzresonansformel.

På TI-89'eren indtastes formelen for udregningen af volumen ud fra helmholtzresonansen. Formel defineres således

$$W = V \left( 1 - \left( \frac{f_0}{f_b} \right)^2 \right) \quad (3.1)$$

Indtastningen op TI-89'eren ses på figur 3.14, hvor værdierne er angivet således at  $v = 1671$ ,  $f_0 = 150$  og  $f_b = 250$ . Resultatet af indtastning giver volumet  $W = 1069.44$

### Udførsel

1. De overnævnte værdier indtastes i blokdiagrammet på de korrekte pladser.
2. Der trykkes på *Run*
3. Resultat af udregningen aflæses på frontpanelet i feltet *Resultat*.
4. Resultatet fra TI-89 og VI'et sammenlignes.

### Resultat

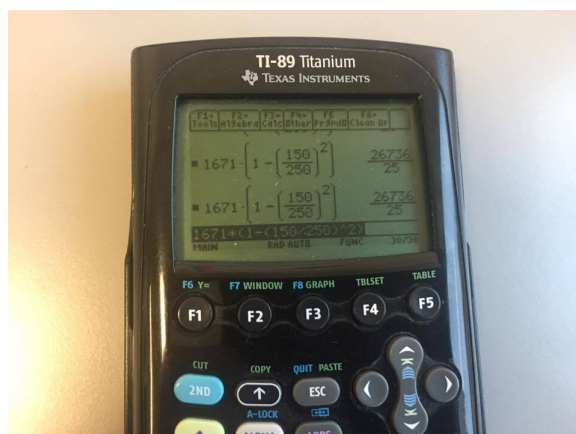
Volumet, regnet på TI-89'erne, angav at  $W = 1069.44$ . Volumet, regnet i VI'et, angav at  $W = 1069.44$ .

### Diskussion

-

### Konklusion

Da resultatet af udregningen er ens for begge metoder, godkendes testen.



Figur 3.14: Indtastning af formel på TI-89



**Aktion**

Det besluttes at den kodede formel fra VI'et kan bruges i det videre udviklingsforløb i LabVIEW.

## 3.3 Integrationstest

### 3.3.1 Bordtest nr. 1

#### Testformål

Det afprøves, at generere et frekvenssignal som udsendes gennem højttaleren, og derefter opfanges af mikrofonen, hvor den højst målte frekvens til sidst angives.

#### Produktspecifikationer

##### *Hardware:*

Højttaler: ABS-224-RC

Højttalerkabel: Rød/Sort

2 stk. Male Single Row Pin Header Strip 2.54 mm.

Arduino Mega 2560 R3

PC

USB kabel Hi-speed 2.0 shield 28AWG/2C+24AWG/2C Han USB A - Han USB B

##### *Software:*

NI LabVIEW 2014

NI VISA 15.0.1

VI Package Manager

ARDUINO 1.6.12

#### Opstilling og opsætning

##### *1. delopstilling:*

Højttaleren er loddet til højttalerkablets ene ende, og pin headerne er loddet til kablets anden ende. Pin headerne er isat Arduino'en i pin 46 (PL3(OC5A)), som et er digitalt PWM output, og til ground (GND). Arduino'en er med et USB kabel koblet til PC'en. På PC'en er VI'et `genererfrekvenssignal02.vi` åbnet i LabVIEW. Testopstillingen for denne del er vist i figur ??, og blokdiagrammet er vist i figur 3.2.

##### *2. delopstilling:*

Mikrofonen er sat i PC'ens minijack-stik. På PC'en er VI'et `optagefrekvenssignal0.1.vi` åbnet i LabVIEW. Testopstillingen for denne del er vist i figur ??, og blokdiagram-

met er vist i figur 3.3.

### Udførsel

1. Højtaleren holdes manuelt således membranen står i lodret position.
2. Mikrofonen holdes manuelt, vendt mod højtaleren, i en afstand på 5 cm.
3. I VI'et **genererfrekvenssignal02.vi** indtastes den ønskede frekvens i den numeriske kontrol *Enter Frequency*.
  - a) Koden eksekveres ved at trykke på *Run*.
4. I VI'et **optagefrekvenssignal0.1.vi** trykkes på *Run*.
  - a) Den maksimale optagede frekvens aflæses i *Max Frequency*.

Punkt 1-4 gentages med frekvenser på: 100 Hz, 150 Hz, 200 Hz, 400 Hz, 500 Hz, 600 Hz og 700 Hz.

### Resultater

Den maksimale optagede frekvens var ikke tilnærmelsesvis frekvensen på den udsendte tone.

### Diskussion

Det ønskede resultat er frekvensen på den udsendte tone, hvilket ikke var tilfældet i denne test. Hvor er fejlen opstået; er der fejl i LabVIEW-kode eller hardware?

### Konklusion

Det er nødvendigt at undersøge om fejlen opstår i vores hardware eller software.

### Aktion

Det skal med en online tonegenerator undersøges, hvor fejlen er opstået.

## 3.3.2 Bordtest nr. 2

### Testformål

Det afprøves, at generere et frekvenssignal fra en online tonegenerator, som udsendes gennem PC'ens højttaler, og derefter opfanges af mikrofonen, hvor den højst målte frekvens til sidst angives.

### Produktspecifikationer

#### *Hardware:*

Minijack PC Mikrofon

PC

#### *Software:*

NI LabVIEW 2014

NI VISA 15.0.1

VI Package Manager

ARDUINO 1.6.12

[onlinetonegenerator.com](http://onlinetonegenerator.com)

### Opstilling og opsætning

Mikrofonen er sat i PC'ens minijack-stik. På PC'en er VI'et `optagefrekvenssignal0.1.vi` åbnet i LabVIEW. Testopstillingen for denne del er vist i figur ??, og blokdiagrammet er vist i figur 3.3.

I en internetbrowser er hjemmesiden [www.onlinetonegenerator.com](http://www.onlinetonegenerator.com) åbnet, og PC'ens højtalere er slået til.

### Udførsel

1. Mikrofonen holdes manuelt, vendt mod PC'ens højtaler, i en afstand på 5 cm.
2. I [onlinetonegenerator.com](http://onlinetonegenerator.com) genereres et signal med den ønskede frekvens.
3. I VI'et `optagefrekvenssignal0.1.vi` trykkes på *Run*.

a) Den maksimale optagede frekvens aflæses i *Max Frequency*.

Punkt 1-4 gentages med frekvenser på: 100 Hz, 150 Hz, 200 Hz, 400 Hz, 500 Hz, 600 Hz og 700 Hz.

### Resultater

Den optagede frekvens var den generede udsendte frekvens ( $\pm 0.5$  Hz).

### Diskussion

Der opnås nu pæne resultater, og der reflekteres over om resultaterne i 3.3.1 skyldes fejl i højtaler eller fejl i VI'et `genererfrekvenssignal02.vi`.

**Konklusion**

Det konkluderes, at der ikke er fejl i VI'et `optagefrekvenssignal0.1.vi`.

**Aktion**

Det skal undersøges, hvilken forskel der er på frekvenssignalet fra `onlinetonegenerator.com` og det generede frekvenssignal udsendt fra højttaleren ABS-224-RC.

**3.3.3 Bordtest nr. 3****Testformål**

Det undersøges, hvilken forskel der er på frekvenssignalet fra `onlinegenerator.com` og det genererede frekvenssignal udsendt fra højttaleren ABS-224-RC.

**Produktspecifikationer***Hardware:*

Højttaler: ABS-224-RC

Højttalerkabel: Rød/Sort

2 stk. Male Single Row Pin Header Strip 2.54 mm.

Krympeflex 2:1 Arduino Mega 2560 R3

USB kabel Hi-speed 2.0 shield 28AWG/2C+24AWG/2C Han USB A - Han USB B  
PC

Minijack PC Mikrofon

*Software:*

NI LabVIEW 2014

NI VISA 15.0.1

VI Package Manager

ARDUINO 1.6.12

`onlinetonegenerator.com`

**Opstilling og opsætning***1. delopstilling:*

Højttaleren er loddet til højttalerkablets ene ende, og pin headerne er loddet til kablets anden ende. Pin headerne er isat Arduino'en i pin 46 (PL3(OC5A)), som et er

digitalt PWM output, og til ground (GND). Arduino'en er med et USB kabel koblet til PC'en. På PC'en er VI'et `genererfrekvenssignal02.vi` åbnet i LabVIEW. Testopstillingen for denne del er vist i figur ??, og blokdiagrammet er vist i figur 3.2.

### *2. delopstilling:*

Mikrofonen er sat i PC'ens minijack-stik. På PC'en er VI'et `optagefrekvenssignal0.1.vi` åbnet i LabVIEW. Testopstillingen for denne del er vist i figur ??, og blokdiagrammet er vist i figur 3.3.

### *3. delopstilling:*

I en internetbrowser er hjemmesiden `www.onlinetonegenerator.com` åbnet, og PC'ens højtalere er slået til.

## **Udførsel**

### *1. deltest*

1. Højtaleren holdes manuelt således membranen står i lodret position.
2. Mikrofonen holdes manuelt, vendt mod højtaleren, i en afstand på 5 cm.
3. I VI'et `genererfrekvenssignal02.vi` indtastes den ønskede frekvens i den numeriske kontrol *Enter Frequency*.
  - a) Koden eksekveres ved at trykke på *Run*.
4. I VI'et `optagefrekvenssignal0.1.vi` trykkes på *Run*.
  - a) Den maksimale optagede frekvens aflæses i *Max Frequency*.

### *2. deltest*

1. Mikrofonen holdes manuelt, vendt mod PC'ens højttaler, i en afstand på 5 cm.
2. I `onlinetonegenerator.com` genereres et signal med den ønskede frekvens.
3. I VI'et `optagefrekvenssignal0.1.vi` trykkes på *Run*.
  - a) Den maksimale optagede frekvens aflæses i *Max Frequency*.

Deltestene gentages med frekvenser på: 100 Hz, 150 Hz, 200 Hz, 400 Hz, 500 Hz, 600 Hz, 700, 1000 og 1200 Hz, og resultaterne sammenholdes.

## Resultater

Det blev observeret, at resultaterne fra det generede frekvenssignal i VI'et **genererfrekvenssigna** var grundtonens harmoniske overtoner, idet frekvensen udsendes som et firkantsignal. Kun ved højfrekvente signaler ( $<1$  kHz), blev grundtonen opfanget. Ved at benytte **onlinetonegenerator.com**, kunne der udsendes et sinussignal med en given frekvens, som blev korrekt opfanget ( $\pm 0.5$  Hz).

## Diskussion

Der opnås pæne resultater ved at bruge et sinussignal, men der er desværre meget kompliceret at generere sinussignaler til en Arduino.

## Konklusion

Det konkluderes, at der ikke er fejl i software og hardware, og de unøjagtige resultater skyldes firkantsignalets harmoniske overtoner.

## Aktion

Det skal undersøges, om det er muligt at filtrere firkantssignalets harmoniske overtoner fra, således firkantssignalet kan benyttes.

### 3.3.4 Bordtest nr. 4

#### Testformål

Det undersøges, om en resonatorlignende beholder kan dæmpe de harmoniske overtoner fra firkantsignalet.

#### Produktspecifikationer

*Hardware:*

Højttaler: Wide Band 2.5" SB65WBAC25-4

Højttalerkabel: Rød/Sort

Kabelsko: Rød fladstik hun, str. 0.25-1.65 mm<sup>2</sup>, 6.6 mm bred fladstik

2 stk. Male Single Row Pin Header Strip 2.54 mm.

Krympeflex 2:1

Arduino Mega 2560 R3

Minijack PC Mikrofon

PC

USB kabel Hi-speed 2.0 shield 28AWG/2C+24AWG/2C Han USB A - Han USB B

Tryksprøjte NSG 150 - Neptun (resonator)

Lineal

*Software:*

NI LabVIEW 2014

NI VISA 15.0.1

VI Package Manager

ARDUINO 1.6.12

### Opstilling og opsætning

Højtalerkablets ene ende er påsat kabelsko, som er påsat højtaleren. Til kablets anden ende er pin headerne loddet fast og forsejlet med krympeflex. Pin headerne er isat Arduino'en i pin 46 (PL3(OC5A)), som er et digitalt PWM output, og til ground (GND). Arduino'en er med et USB kabel koblet til PC'en. Mikrofonen er sat i PC'ens minijack-stik og er ført ned i resonatoren hvor den ligger i bunden. Højtaleren placeres i en afstand på en halv diameter af højtalermembranen, ovenfor resonatorens hals.

På PC'en er VI'erne `genererfrekvenssignal02.vi` og `optagefrekvenssignal02.vi` åbnet i LabVIEW og blokdiagrammerne er vist i figur 3.2 og 3.3

Testopstillingen kan ses på figur 3.15.

### Udførsel

1. Tryksprøjtedelen afmonteres beholderen og fungerer nu som resonator. Resonatoren stilles på et bord med halsen pegende opad.
2. Mikrofonen føres ned i resonatoren og ligger i resonatorens bund.
3. Linealen påsættes resonatorens hals så den fungerer som afstandsmåler fra halsåbningen.
4. Højtaleren holdes manuelt over resonatorhalsen i en afstand på en halv diameter af højtalermembranen. Ved anvendelse af den specificerede højttaler er afstanden to centimeter.





Figur 3.15: Testopstilling for bordtest 4

5. I VI'et `genererfrekvenssignal02.vi` indtastes den ønskede frekvens i den numeriske kontrol *Enter Frequency*.

a) Kodens eksekveres ved at trykke på *Run*.

6. I VI'et `optagefrekvenssignal02.vi` trykkes på *Run*.

a) Den maksimale optagede frekvens aflæses i *Max Frequency*.

Testen udføres med en frekvens på 200 Hz, 500 Hz, 1000 Hz og 1200 Hz. Der afprøves to gange med hvert frekvens

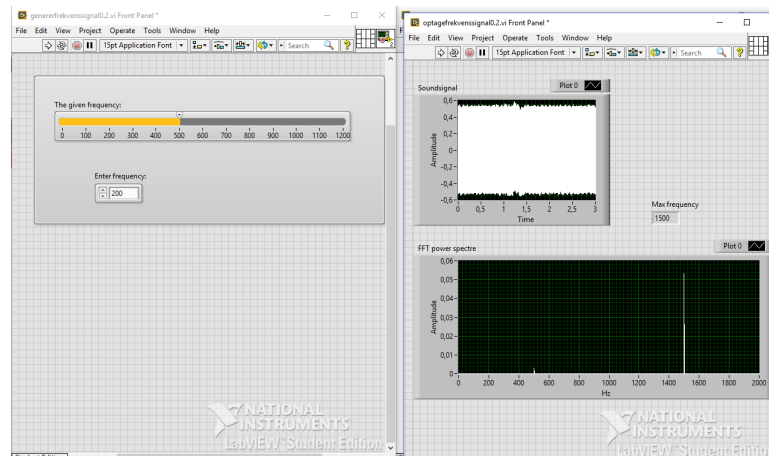
## Resultater

Det blev observeret ved begge forsøg, at resultatet fra det generede frekvenssignal i VI'et `genererfrekvenssignal02.vi` på 500 Hz var en af grundtonens harmoniske overtoner på 1500 Hz. Dette ses i figur 3.16.

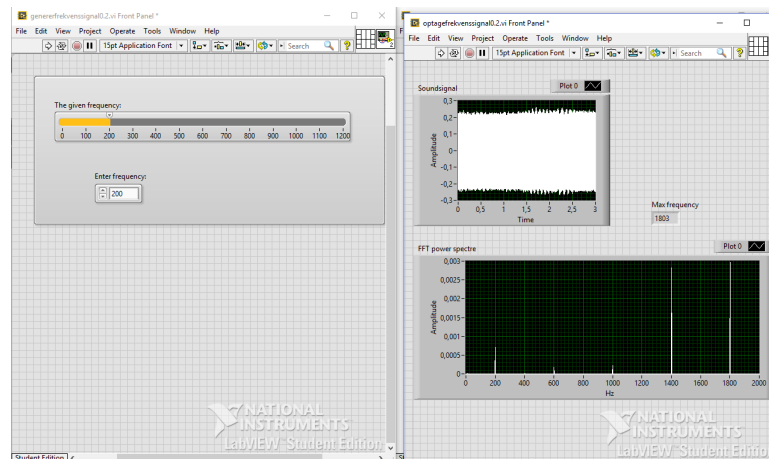
Det blev observeret i første forsøg, at resultatet fra det generede frekvenssignal i VI'et `genererfrekvenssignal02.vi` på 200 Hz var en af grundtonens harmoniske overtone på 1803 Hz og i andet forsøg observeres en harmonisk overtone 1402,33 Hz. Resultatet fra første forsøg vises i figur 3.17.

Det blev observeret i første forsøg, at resultatet fra det generede frekvenssignal i VI'et `genererfrekvenssignal02.vi` på 1000 Hz var en af grundtonens harmoniske overtoner på 3000,33 Hz i. Dette ses i figur 3.18. I det andet forsøg observeres det at resultatet stemmer overens med den afspillede grundtone. Dette ses på figur 3.19.

Det blev observeret, at resultatet fra den generede frekvenssignal i VI'et `genererfrekvenssignal02.vi` på 1200 Hz stemmer overens med den afspillede grundtone. Dette ses på figur 3.20.



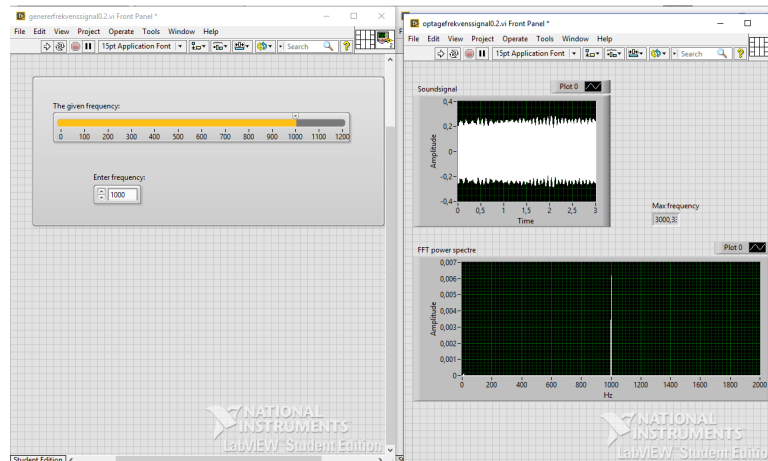
Figur 3.16: Resultat for for bordtest 4 ved anvendelse af 500 Hz



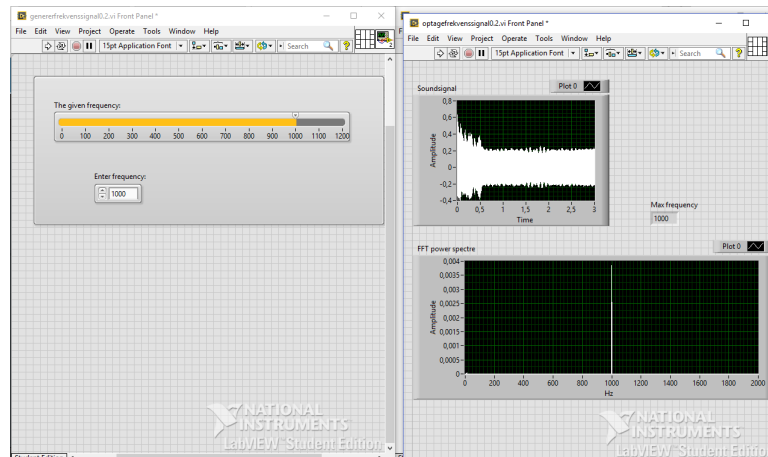
Figur 3.17: Resultat for for bordtest 4 ved anvendelse af 200 Hz

## Diskussion

Ved forsøget med 1000 Hz observeres, at de to resultater ikke er tilnærmelsesvis ens. I første forsøg blev en harmonisk overtone opfanget, som den maksimale frekvens, hvor der i andet forsøg blev opfanget grundtonen på den genererede frekvens. Disse to resultater skal være ens og derfor er de ikke tilfredsstillende.



Figur 3.18: Resultat for for bordtest 4 ved anvendelse af 1000 Hz



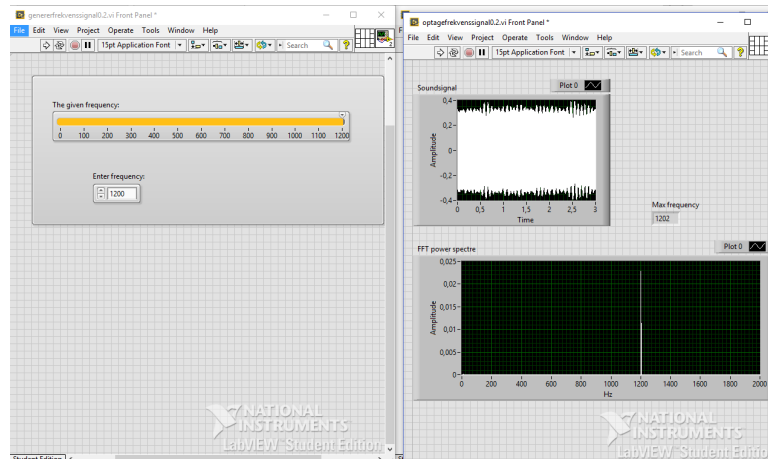
Figur 3.19: Resultat for for bordtest 4 ved anvendelse af 1000 Hz

## Konklusion

Ved generering af frekvenser lavere end 1000 Hz opfanges harmoniske overtoner, i stedet for grundtonen, som er det ønskede resultat. Ved generering af frekvenser lig 1000 Hz opfanges ustabile resultater. Ved generering af frekvenser højere end 1000 Hz, opnås pæne resultater, hvor den genererede frekvens er lig den opfangede frekvens. Dermed konkluderes, at resonatoren i dette tilfælde ikke virker dæmpende på harmoniske overtoner på frekvenser lavere end 1000 Hz.

## Aktion

Det skal undersøges, om målinger genereret med en frekvens lig eller højere end 1000 Hz er stabile.



Figur 3.20: Resultat for for bordtest 4 ved anvendelse af 1200 Hz

### 3.3.5 Bordtest nr. 5

#### Testformål

Det undersøges, om firkantsignaler genereret med frekvenser lig eller højere end 1000 Hz er stabile og hvilken effekt helmHoltz resonatoren har på signalerne.

#### Produktspecifikationer

##### *Hardware:*

Højttaler: Wide Band 2.5" SB65WBAC25-4

Højttalerkabel: Rød/Sort

Kabelsko: Rød fladstik hun, str. 0.25-1.65 mm<sup>2</sup>, 6.6 mm bred fladstik

2 stk. Male Single Row Pin Header Strip 2.54 mm.

Krympeflex 2:1

Arduino Mega 2560 R3

Minijack PC Mikrofon

PC

USB kabel Hi-speed 2.0 shield 28AWG/2C+24AWG/2C Han USB A - Han USB B

Tryksprøjte NSG 150 - Neptun (resonator)

Lineal

##### *Software:*

NI LabVIEW 2014

NI VISA 15.0.1

VI Package Manager

## ARDUINO 1.6.12

**Opstilling og opsætning**

Højtalerkablets ene ende er påsat kabelsko, som er påsat højtaleren. Til kablets anden ende er pin headerne loddet fast og forsejlet med krympeflex. Pin headerne er isat Arduino'en i pin 46 (PL3(OC5A)), som et er digitalt PWM output, og til ground (GND). Arduino'en er med et USB kabel koblet til PC'en. Mikrofonen er sat i PC'ens minijack-stik og er ført ned i resonatoren hvor den ligger i bunden. Højtaleren placeres i en afstand på en halv diameter af højtalermembran, ovenfor resonatorens hals.

På PC'en er VI'erne **genererfrekvenssignal02.vi** og **optagefrekvenssignal02.vi** åbnet i LabVIEW og blokdiagrammerne er vist i figur 3.2 og 3.3

Testopstillingen er den samme som i bordtest 4, og vises i figur 3.15.

**Udførsel**

1. Tryksprøjtedelen afmonteres af beholderen og fungerer nu som resonator. Resonatoren stilles på et bord med halsen pegende opad.
2. Mikrofonen føres ned i resonatoren og ligger i resonatorens bund.
3. Linealen påsættes resonatorens hals så den fungerer som afstandsmåler fra halsåbningen.
4. Højtaleren holdes manuelt over resonatorhalsen i en afstand på en halv diameter af højtalermembranen. Ved anvendelse af den specificerede højttaler er afstanden to centimeter.
5. I VI'et **genererfrekvenssignal02.vi** indtastes den ønskede frekvens i den numeriske kontrol *Enter Frequency*.
  - a) Koden eksekveres ved at trykke på *Run*.
6. I VI'et **optagefrekvenssignal02.vi** trykkes på *Run*.
  - a) Den maksimale optagede frekvens aflæses i *Max Frequency*.

Testen udføres med en frekvens på 950 Hz, 1000 Hz, 1100 Hz, 1200 Hz og 1300 Hz. Testen foretages to gange med hver frekvens.

Tabel 3.9: Tabel over resultater

| Udsendt frekvens [Hz] | 1. resultat | 2. resultat |
|-----------------------|-------------|-------------|
| 950                   | 954.33      | 954.33      |
| 1000                  | 1000.00     | 1000.00     |
| 1100                  | 1101.33     | 1101.33     |
| 1200                  | 1202.00     | 1202.00     |
| 1300                  | 1302.00     | 1302.00     |

### Resultater

Ud fra tabellen ses at de opfangede signaler er stabile ved alle udsendte frekvenser. Det ses ydermere at de afsendte signaler ikke ser ud til at være påvirket af Helmholtzresonatoren

### Diskussion

De opfangede frekvensers variation er tilfredsstillende til brug i det videre udviklingsforløb. De optagede frekvenser afviger ikke fra de udsendte frekvenser selvom de udsendte frekvenser er opfanget i resonatoren. Det er Helmholtz resonansen som ønskes opfanget og den formodes at afvige fra den udsendte frekvens. Dette er dog ikke tilfældet i denne tests resultater. Det undres over de optagede frekvenser ikke er påvirkede af resonatoren og der sås nu tvivl minijack mikrofonen opfanger signalerne eller om det er PC mikrofonen som opfanger signalerne

### Konklusion

Frekvenser over 950 Hz kan opfanges som grundtonen og det opfangede signal er ikke forstyrret af de harmoniske overtoner. Det ser ikke ud til at de opfangede frekvenser ikke er påvirket af resonatoren, hvilket vil være forventeligt. Det konkluderes at det er nødvendigt at undersøge om minijack mikrofonen opfanger de afsendte signaler.

### Aktion

Der udføres en ny enhedstest af minijack mikrofonen for at klarlægge om mikrofonen opfanger signalerne.

### 3.3.6 Bordtest nr. 6 - resonansfrekvens i tomt kammer

#### Testformål

Det ønskes, at finde resonansfrekvensen  $f_0$  i den tomme resonator, således denne kan verificeres i forhold til resonatorens kendte volumen.

#### Produktspecifikationer

##### *Hardware:*

Multimedia USB Speaker HP-1800

Electret Microphone Amplifier - MAX4466

Multifunction Data Acquisition (DAQ) USB-6009

Tryksprøjte NSG 150 - Neptun

Danalim klæbemasse 312

Lineal

MY DOUGH modellervoks

Etronit MBM PhenolicMelamine plade

PC

##### *Software:*

NI LabVIEW 2014

LabVIEW2014-NI-DAQmx-14

[www.onlinetonegenerator.com](http://www.onlinetonegenerator.com)

#### Opstilling og opsætning

Flasken er skruet af tryksprøjten, og bunden er savet af i et lige snit. Denne flaske har funktionen som resonator i testen. Resonatoren vises i figur 3.21. Resonatoren er placeret på pladen, og er tætnet med modellervoks i kanten mellem resonator og plade. Trykventilen på flasken er også tætnet med modellervoks. En lineal er påsat flaskehalsen, og benyttes til afstandsmåling. Mikrofonen er monteret på resonatorens inderside med klæbemasse. Mikrofonen placeres mindre end resonatorhalsens længde fra resonatorhalsens indre åbning. Mikrofonen er endvidere tilkoblet DAQ'en, som er tilsluttet PC'en. På PC'en er LabVIEW VI'et `optagefrekvenssignal05.vi` åbnet. Blokdiagrammet vises i figur 3.22. Højttaleren

er tilsluttet PC'en, og [www.onlinetonegenerator.com](http://www.onlinetonegenerator.com) er åbnet i en browser, hvor pink noise genereres. Højtaleren holdes i en afstand på en halv diameter af halsåbningen fra halsens indgangen.

### Udførsel

1. Pink noise genereres fra [www.onlinetonegenerator.com](http://www.onlinetonegenerator.com) ud gennem højtaleren.
2. Gentagelse af antal loops i blokdiagrammet sættes til 10, og der optages 4 sekunder af gangen.
3. Der trykkes *Run* i VI'et.
4. Resonansfrekvens  $f_0$  aflæses i *Resonansfrekvens af kammer med objekt*.

### Resultater

#### 3.3.7 Bordtest nr. 6.1 - resonansfrekvens i tomt kammer

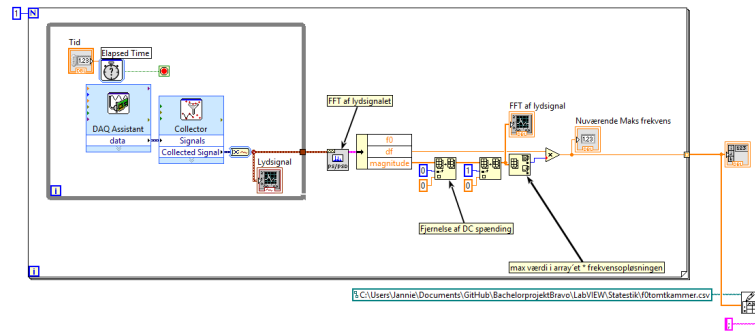
##### Testformål

Det ønskes, at finde resonansfrekvensen  $f_0$  i den tomme resonator, således denne kan verificeres i forhold til resonatorens kendte volumen.



Figur 3.21: Resonator fremstillet af Tryksprøjte NSG 150 - Neptun.





Figur 3.22: Bolkdiagram for LabVIEW VI'et optagefrekvenssignal05.vi.

Tabel 3.10: Tabel over resultater

| #  | $f_0$ [Hz] |
|----|------------|
| 1  |            |
| 2  |            |
| 3  |            |
| 4  |            |
| 5  |            |
| 6  |            |
| 7  |            |
| 8  |            |
| 9  |            |
| 10 |            |

## Produktspecifikationer

### Hardware:

Multimedia USB Speaker HP-1800

Electret Microphone Amplifier - MAX4466

Multifunction Data Acquisition (DAQ) USB-6009

Tryksprøjte NSG 150 - Neptun

Danalim klæbemasse 312

3D-printet holder til Multimedia USB Speaker HP-1800

MY DOUGH modellervoks

Etronit MBM PhenolicMelamine plade

PC

Termometer

*Software:*

NI LabVIEW 2014

LabVIEW2014-NI-DAQmx-14

[www.onlinetonegenerator.com](http://www.onlinetonegenerator.com)

### Opstilling og opsætning

Flasken er skruet af tryksprøjten, og bunden er savet af i et lige snit. Denne flaske har funktionen som resonator i testen. Resonatoren vises i figur 3.21. Resonatoren er placeret på pladen, og er tætnet med modellervoks i kanten mellem resonator og plade. Trykventilen på flasken er også tætnet med modellervoks. Mikrofonen er monteret på resonatorens inderside med klæbemasse. Mikrofonen placeres mindre end resonatorhalsens længde fra resonatorhalsens indre åbning. Mikrofonen er endvidere tilkoblet DAQ'en, som er tilsluttet PC'en. På PC'en er LabVIEW VI'et *optagefrekvenssignal05.vi* åbnet. Blokdiagrammet vises i figur 3.22. En 3D-printet holder er skruet på flaskens gevind. Holderen sikrer, at højttaleren holdes i en afstand på  $\geq$  en diameter af halsåbningen fra halsens indgangen. Højttaleren er tilsluttet PC'en, og [www.onlinetonegenerator.com](http://www.onlinetonegenerator.com) er åbnet i en browser, hvor pink noise genereres. Et termometer sættes til at måle rumtemperaturen, imens testen udføres.

### Udførsel

1. Pink noise genereres fra [www.onlinetonegenerator.com](http://www.onlinetonegenerator.com) ud gennem højttaleren.
2. Gentagelse af antal loops i blokdiagrammet sættes til 100, og der optages 4 sekunder af gangen.
3. Der trykkes *Run* i VI'et.
4. Resonansfrekvens  $f_0$  aflæses i *Resonansfrekvens af kammer med objekt*.

### Resultater

Rumtemperatur: 23.7°C

$f_0$  udregnet ud fra Helmholtz resonans ligningen:

$$f_0 = \frac{c}{2\pi} \sqrt{\frac{S_p}{V(l_p + \Delta l)}} \quad (3.2)$$



Figur 3.23: Opstillingen for testen fremgår af denne figur

,

hvor  $c$  er givet ved:

$$c = 331,5 \text{ m/s} \cdot \sqrt{\frac{T_K}{273,15 \text{ K}}} \quad (3.3)$$

, og  $T$  er bestemt ved.:

$$T_K = t_{\circ C} + 273,15 \text{ K} \quad (3.4)$$

Tværsnitsarealet  $S_p$  er bestemt ved

$$S_p = r^2 \pi \quad (3.5)$$

Endvidere er  $\Delta l$  bestemt ved:

$$\Delta l = 0,6 \cdot r + \frac{8}{3\pi} \cdot r \quad (3.6)$$

$$S_p = r^2 \pi \quad (3.7)$$

Tabel 3.11: Tabel over resultater

| #  | $f_0$ [Hz] |
|----|------------|
| 1  |            |
| 2  |            |
| 3  |            |
| 4  |            |
| 5  |            |
| 6  |            |
| 7  |            |
| 8  |            |
| 9  |            |
| 10 |            |

### 3.3.8 Bordtest 6.2 - test med tre balloner med forskellig volumen

#### Testformål

Gul ballon: 216 g. svarende til et volumen på: 0,000216 m<sup>3</sup>

Blå ballon: 383 g. svarende til et volumen på: 0,000383 m<sup>3</sup>

Grøn ballon: 516 g. svarende til et volumen på: 0,000516 m<sup>3</sup>

Rumtemperatur: 23,2°C

$f_0$  ved 23.2°C: 96.4 s

Gul ballon:  $f_b$  burde dermed være: 103.3 s (var 150 s) Blå ballon:  $f_b$  burde dermed være: 109.8 s (var 152 s) Grøn ballon:  $f_b$  burde dermed være: 115.9 s (var 159 s)

# Find en plads til det her 4

---

## 4.1 Bestemmelse af volumen af resonator

Volumen af resonatoren skal kendes for at bestemme resonansfrekvensen i det tomme kammer. Volumen er udregnet ved at hælde vand i resonatoren, og derefter måle vandets vægt. Ud fra vandets vægt kunne volumen gives.

$$V = \frac{m}{\rho} \quad (4.1)$$

$$V_{\text{resonator}} = \frac{1698 \text{ } \mu\text{g}/\text{cm}^3}{1000 \text{ kg}/\text{m}^3} \quad (4.2)$$

$$V_{\text{resonator}} = 1,698 \text{ m}^3 = 1,698 \text{ L} \quad (4.3)$$

### 4.1.1 Bestemmelse af volumen af resonator ekskl. halsvolumen

Volumen af resonatoren ekskl. halsvolumen er udregnet på samme fremgangsmåde ved brug af ligning 4.11.

$$V_{\text{resonator}} = \frac{1671 \text{ } \mu\text{g}/\text{cm}^3}{1000 \text{ kg}/\text{m}^3} = 1,671 \text{ m}^3 = 1,671 \text{ L} \quad (4.4)$$

## 4.2 Udregning af volumen

Helmholtz resonansen i en tom resonator er givet ved følgende formel:

$$f_0 = \frac{c}{2\pi} \sqrt{\frac{S_p}{V(l_p + \Delta l)}} \quad (4.5)$$

hvor

$f_0$ : resonansfrekvens i en tom resonator  $[Hz]$ ,

$c$ : lydens hastighed i luft  $[m/s]$ ,

$S_p$ : tværsnitsareal af port  $[m^2]$ ,

$V$ : statisk volumen af resonator  $[m^3]$ ,

$l_p$ : længde af port  $[m]$ ,

$\Delta l$ : endekorrektion  $[m]$

Lydens hastighed i luft  $c$  er givet ved formelen:

$$c = 331,5 \text{ m/s} \cdot \sqrt{\frac{T_K}{273,15 \text{ K}}} \quad (4.6)$$

hvor  $T_K$  er givet ved

$$T_K = t_C + 273,15 \text{ K} \quad (4.7)$$

. Derved kan lydens hastighed i luft ved en temperatur på  $23^\circ\text{C}$  bestemmes:

$$c = 331,5 \text{ m/s} \cdot \sqrt{\frac{296,15 \text{ K}}{273,15 \text{ K}}} = 345,175 \text{ m/s} \quad (4.8)$$

Tværsnitsarealet  $S_p$  af porten bestemmes ved:

$$S_p = r^2 \pi \quad (4.9)$$

hvor  $r$  er radius af porten. Derved bliver  $S_p$  ved en radius på  $1,75 \text{ cm}$ :

$$S_p = (0,0175 \text{ m})^2 \pi = 0,000962 \text{ m}^2 \quad (4.10)$$

Volumen af resonatoren  $V$  er ekskl. port/ hals. Volumen er udregnet ved at hælde vand i resonatoren, og derefter måle vandets vægt. Ud fra vandets vægt kan volumen gives vha. følgende formel:

$$V = \frac{m}{\rho} \quad (4.11)$$

$\Downarrow$

$$V_{\text{resonator}} = \frac{1,671 \text{ kg}}{1000 \text{ kg/m}^3} = 0,001671 \text{ m}^3 \quad (4.12)$$

Endekorrektionen  $\Delta l$  er en værdi som tillægges, som korrektion for den medsvingende luft, der i resonatoren fungerer som masse.

$\Delta l$  gives ved:

$$\Delta l = 0,6 \cdot r + \frac{8}{3\pi} \cdot r \quad (4.13)$$

$\Downarrow$

$$\Delta l = 0,6 \cdot 0,0175 \text{ m} + \frac{8}{3\pi} \cdot 0,0175 \text{ m} = 0,157 108 \text{ m} \quad (4.14)$$

Resonansfrekvens  $f_0$  i en tom resonator ved en lufttemperatur på 23°C er altså:

$$f_0 = \frac{c}{2\pi} \sqrt{\frac{S_p}{V(l_p + \Delta l)}} \quad (4.15)$$

$\Downarrow$

$$f_0 = \frac{345,175 \text{ m/s}}{2\pi} \sqrt{\frac{0,000 962 \text{ m}^2}{0,001 671 \text{ m}^3(0,034 \text{ m} + 0,157 108 \text{ m})}} \quad (4.16)$$

$\Downarrow$

$$f_0 = 95,3497 \text{ s}^{-1} \cong 95,4 \text{ Hz} \quad (4.17)$$

# Litteratur

---



## **Bilag A**

Her er bilag A's indhold

TADAAAAAA :D

## **Bilag B**

Og her kommer bilag B's indhold